

# **Journal of Bionanotechnocracy: Countdown 2030**

Investigation de la science occulte, des technologies émergentes et des vérités supprimées

**Assemblages Cristal-Fibre à travers les domaines**

**Structures à phases couplées récurrentes au sein des produits pharmaceutiques  
et des Liquides biologiques**

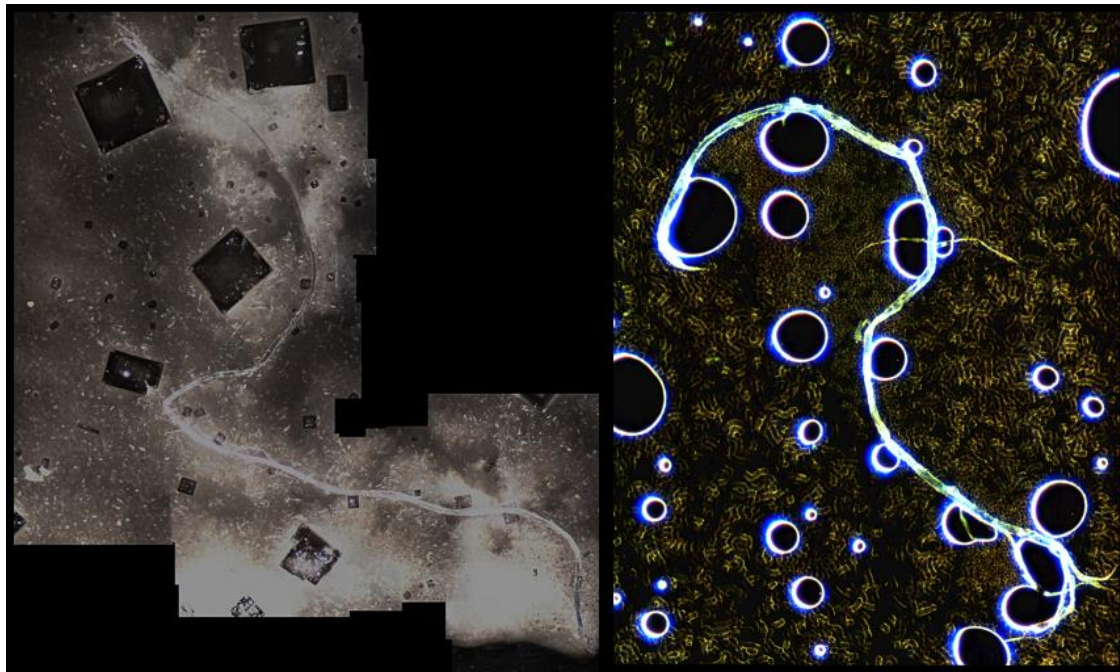
---

David Nixon, M.B., Ch.B.

Chercheur indépendant et médecin  
Brisbane, Australie

Email : [david@drdavidnixon.com](mailto:david@drdavidnixon.com) | Site web :[www.drdavidnixon.com](http://www.drdavidnixon.com) | ORCID : [0009-0007-9817-5421](https://orcid.org/0009-0007-9817-5421)

---



## Sommaire

<b>Remerciements</b>	29
<b>Résumé</b>	30
<b>Mots-clés :</b>	31
<b>Résumé de vulgarisation</b>	31
<b>Introduction</b>	32
<b>Méthodes</b>	37
<b>Résultats</b>	38
<b>Synthèse des résultats (Assemblages Cristal-Fibre)</b>	76
<b>Discussion</b>	78
<b>Conclusion</b>	80
<b>Références</b>	82
<b>Déclaration de conflit d'intérêts</b>	84
<b>Droits d'auteur</b>	84
<b>Glossaire</b>	85
<b>Clause de non-responsabilité</b>	87

### Remerciements

Je remercie Xstra Technologies Group ainsi que les abonnés du NixonLab Substack pour leur soutien et leurs contributions à ces travaux de recherche. Je tiens également à témoigner ma reconnaissance particulière à la professeure Wendy Hoy FAA AO FRACP, professeure émérite de médecine à l'Université du Queensland, dont le soutien a largement excédé l'encouragement académique ; son intégrité personnelle, sa perspicacité clinique et sa présence constante lors de périodes éprouvantes ont rendu ce travail possible.

Les personnes suivantes ont contribué à l'élaboration de ces travaux par la fourniture d'images de microscopie, d'observations et par leur participation à des discussions collaboratives. L'ensemble des interprétations, analyses et conclusions relève de la seule responsabilité de l'auteur.

Unhackable Animal  
Tobias Beharrell  
Louise Coats  
Gideon Jacobs  
Carol Magee  
Jeff Miller  
Will Wade

# **Journal of Bionanotechnocracy: Countdown 2030**

Investigation de la science occulte, des technologies émergentes et des vérités supprimées

## **Assemblages Cristal-Fibre à travers les domaines**

### **Structures à phases couplées récurrentes au sein des produits pharmaceutiques et des Liquides biologiques**

---

David Nixon, M.B., Ch.B.

Chercheur indépendant et médecin

Brisbane, Australie

---

Email : [david@drdavidnixon.com](mailto:david@drdavidnixon.com) | Site web :[www.drdavidnixon.com](http://www.drdavidnixon.com) | ORCID : 0009-0007-9817-5421

---

## **Résumé**

À travers de multiples investigations indépendantes par microscopie, un motif structurel récurrent a été observé dans diverses préparations pharmaceutiques et liquides biologiques : une architecture couplée dans laquelle des domaines cristallins sont directement associés à des éléments fibreux ou filamentueux. Ces structures, désignées ici sous le terme d'Assemblages Cristal-Fibre (ACF), présentent une géométrie organisée, une persistance à travers les transitions de phase et une réacti-vité au contexte environnemental.

Les ACF ont été identifiés dans les anesthésiques dentaires et non dentaires, les suspensions de vaccins et les échantillons biologiques incluant le sang et l'urine.

Les ACF se définissent non par leur composition chimique, mais par leur relation architecturale. Leur caractéristique distinctive est un couplage spatial reproductible entre les phases cristallines et les structures de type fibre, fréquemment caractérisé par des jonctions nodales, une croissance directionnelle et des dynamiques associées aux vésicules. La récurrence de ce motif à travers des domaines chimiquement et biologiquement distincts récuse l'hypothèse d'une contamination ou d'artéfacts de formulation isolés, et souligne plutôt une logique organisationnelle partagée et dépendante des phases, opérant à l'interface entre l'organisation nanoscopique et la structure microscopique.

Cette étude ne vise pas à établir une causalité mécaniste définitive ou une fonction biologique.

Elle établit plutôt les ACF comme un motif structurel reproductible dont l'occurrence multidomaines justifie une analyse dans le cadre de la matière molle et d'une approche théorique systémique.

Lorsque la même architecture émerge dans des contextes distincts, l'axe interprétatif se déplace de l'identité compositionnelle vers les conditions physiques régissant sa formation, sa suppression ou sa redirection.

Les résultats présentés décrivent les conditions dans lesquelles les ACF se forment systématiquement, les limites de leur apparition, et ce que ces conditions aux limites révèlent de l'organisation à phases couplées au sein des fluides complexes.

### **Mots-clés :**

*transformation dépendante de la phase ; assemblages cristal-fibre (ACF) ; organisation de la matière molle ; microscopie à fond noir ; cristallisation non classique ; formation de fibres ; dynamique mésoscopique ; classification structurelle*

### **Résumé de vulgarisation**

Au fil de nombreuses études microscopiques, un même motif inattendu apparaît de manière récurrente : des cristaux physiquement liés à des fibres selon une structure organisée. Ces formations, nommées Assemblages Cristal-Fibre (ACF), ont été observées dans les anesthésiques dentaires, les préparations vaccinales, d'autres produits pharmaceutiques injectables, ainsi que dans des liquides biologiques tels que le sang et l'urine.

La particularité des ACF ne réside pas dans leur composition chimique, mais dans leur mode d'organisation. Dans chaque cas, une structure cristalline est directement connectée à une ou plusieurs fibres, manifestant souvent une géométrie précise et une persistance notable, y compris lors de modifications des conditions environnementales. La manifestation de cette même structure au sein de matériaux chimiquement distincts écarte l'hypothèse d'une simple contamination ou d'un artefact fortuit.

Plutôt que de privilégier la composition, cette étude examine les conditions favorisant l'émergence de telles formes organisées. La comparaison entre les contextes d'apparition et d'absence des ACF suggère qu'ils traduisent une logique organisationnelle récurrente à l'interface des phases cristal-lines et fibreuses, révélant des principes fondamentaux régissant la structure et la stabilité des fluides complexes.

## Introduction

Plusieurs séries indépendantes d'observations par microscopie ont mis en évidence un motif structurel récurrent : des assemblages couplés de cristaux et de fibres présentant une géométrie organisée, une stabilité lors des transitions de phase et une sensibilité au contexte environnemental. Ces structures, nommées ici *Assemblages Cristal-Fibre (ACF)*, ont été identifiées dans des préparations pharmaceutiques, des anesthésiques dentaires, des anesthésiques non dentaires ainsi que dans des liquides biologiques, notamment le sang et l'urine.

Les ACF ne se définissent pas par la seule composition chimique. Ils se caractérisent plutôt par une Relation architecturale distinctive entre les domaines cristallins et les éléments de nature fibreuse.

Ces assemblages présentent souvent des jonctions nодales, une croissance directionnelle et des dynamiques associées aux vésicules. Leur récurrence au sein de matériaux chimiquement et fonctionnellement distincts suggère qu'ils ne résultent pas d'une contamination ou d'Artéfacts de formulation isolés, mais d'une logique de phase partagée opérant à l'interface entre l'organisation nanoscopique et la structure microscopique.

L'objet du présent article n'est pas de répertorier chaque occurrence d'ACF, ni d'en établir la causalité mécaniste définitive. Il vise plutôt à établir les ACF en tant que motif structurel reproductible dont l'apparition à travers divers domaines justifie une analyse approfondie au sein d'un cadre théorique systémique et de la matière molle. Lorsque la même architecture se manifeste dans des contextes sans lien apparent, la question ne porte plus sur sa nature constitutive, mais sur les conditions permettant sa formation.

À travers l'ensemble des échantillons examinés, un motif structurel récurrent est observé, dans lequel les domaines cristallins sont directement couplés à des éléments fibreux ou des éléments filamentueux.

Cette configuration est ici désignée sous le terme d'*Assemblage Cristal-Fibre (ACF)*. La caractéristique déterminante d'un ACF n'est pas sa composition chimique, mais sa relation architecturale : un lien spatial et fonctionnel persistant entre une phase cristalline et une ou plusieurs structures de type fibreux.

Le terme *Assemblage Cristal-Fibre (ACF)* a été initialement introduit lors d'une analyse microscopique antérieure d'échantillons pharmaceutiques afin de décrire cette architecture couplée cristal-fibre récurrente. Il est ici maintenu par souci de continuité et pour distinguer ce motif d'une cristallisation générique ou de la formation de fibres isolées.

Les ACF se présentent généralement comme des corps cristallins planaires ou polyédriques desquels des fibres émergent, s'entrecroisent ou convergent aux limites du cristal. Dans de nombreux cas, les fibres semblent agir comme des éléments d'ancre, des guides d'alignement ou des conduits pour la croissance structurelle ultérieure. Les composants cristallins et fibreux ne semblent pas associés de manière aléatoire ; leur géométrie suggère plutôt une formation coordonnée ou une stabilisation mutuelle.

Ce motif est observé dans divers contextes, notamment les anesthésiques dentaires, les suspensions de vaccins, les produits pharmaceutiques non anesthésiques, ainsi que les échantillons de sang et d'urine. Bien que la morphologie absolue varie selon les domaines, la relation fondamentale — la continuité du cristal couplée

à une architecture fibreuse — demeure conservée. Cette récurrence au sein d'environnements chimiquement et biologiquement distincts appuie la classification de l'ACF en tant que motif structurel plutôt que comme un artéfact d'une formulation ou d'une méthode de préparation unique.

Il est important de noter que l'on observe une persistance des ACF à travers les transitions de phase, notamment le séchage, la dilution et la réhydratation, ce qui indique un degré de stabilité de phase incompatible avec une simple cristallisation transitoire. Leur répétabilité selon les échantillons et les conditions suggère une logique organisationnelle sous-jacente opérant à l'interface entre les phases cristallines et fibreuses.

Afin d'éviter toute ambiguïté et toute sur-classification, le terme Assemblage Cristal-Fibre (ACF) n'est utilisé dans cet article que lorsqu'une structure répond aux critères d'inclusion explicites définis ci-dessous.

### **Critères d'inclusion : ce qui constitue un Assemblage Cristal-Fibre**

Aux fins de cette analyse, une structure est classée comme Assemblage Cristal-Fibre (ACF) lorsqu'elle satisfait aux critères suivants :

#### **Architecture couplée**

Une association directe et spatialement cohérente entre un domaine cristallin et un ou plusieurs éléments de nature fibreuse doit être établie. La simple proximité est insuffisante ; les composants doivent paraître structurellement liés ou mutuellement stabilisés.

#### **Organisation géométrique**

Le composant cristallin présente une géométrie définie (planaire, rectiligne, polyédrique ou modulaire), tandis que les fibres manifestent une croissance directionnelle, un ancrage ou une fixation nodale plutôt qu'une dispersion aléatoire.

#### **Persistance selon les conditions**

L'assemblage demeure identifiable en dépit des changements de phase ou de contexte, notamment lors du séchage, de la dilution, de l'incubation ou d'un désassemblage partiel. Une cristallisation transitoire dépourvue de persistance n'est pas admissible.

#### **Reproductibilité inter-échantillons**

Des architectures comparables sont observées au sein d'échantillons ou de domaines indépendants, excluant ainsi les artéfacts d'échantillon unique ou les anomalies propres à la préparation.

Seules les structures satisfaisant à ces quatre critères sont qualifiées d'ACF dans le présent article.

## **Nature des ACF : Artéfacts exclus et erreurs de classification**

Les ACF se distinguent explicitement de plusieurs phénomènes microscopiques usuels :

### **Cristaux isolés**

Les structures cristallines dépourvues de toute association fibreuse constante, même de géométrie complexe, ne sont pas classées comme ACF.

### **Fibres ou filaments libres**

Les éléments fibreux sans couplage cristallin, y compris les brins amorphes, les filaments protéiques ou les artefacts de séchage, sont exclus.

### **Artéfacts de préparation**

Les effets de bord, les distorsions liées à la pression de la lamelle, les artefacts d'interface air-liquide et les contaminations introduites lors de la préparation des lames ne satisfont pas aux critères des ACF, à moins que l'architecture couplée ne persiste hors du contexte de préparation.

### **Agrégation aléatoire**

Les amas formés par sédimentation passive ou agglomération non spécifique, dépourvus de géométrie organisée ou de forme reproductible, sont exclus.

Ce cadre d'exclusion est essentiel pour maintenir la désignation d'ACF en tant que catégorie structurelle significative et non comme un terme générique.

## **Taxonomie minimale des Assemblages Cristal-Fibre**

Bien que les ACF présentent une diversité morphologique, les cas observés peuvent être provisoirement classés en trois catégories récurrentes :

### **Type I : ACF ancrés**

Les fibres se terminent ou émergent de points distincts le long d'une limite cristalline, suggérant des fonctions d'ancre ou de nucléation.

### **Type II : ACF encastrés**

Les fibres traversent ou sont partiellement encloses au sein du domaine cristallin, souvent associées à des compartiments internes ou à des inclusions nodales.

### **Type III : ACF en réseau**

Plusieurs unités cristal-fibre sont liées en des assemblages plus vastes par des fibres partagées ou des jonctions nodales, formant des réseaux modulaires ou en treillis.

Cette taxonomie est descriptive plutôt que mécaniste. Son objectif est de soutenir l'analyse comparative entre les domaines et de faciliter la reconnaissance de motifs architecturaux conservés.

### **Occurrence à travers les domaines**

Les Assemblages Cristal-Fibre (ACF) ont désormais été observés dans de multiples domaines matériels, incluant les préparations pharmaceutiques, les liquides biologiques et les échantillons environnementaux.

Leur récurrence dans des contextes chimiquement et procéduralement distincts plaide contre un artéfact spécifique à un domaine et soutient plutôt l'interprétation des ACF comme un motif structurel reproductible émergeant sous des conditions physiques partagées.

Dans les échantillons pharmaceutiques, les ACF ont été documentés dans les vaccins à ARNm (incluant les formulations Pfizer-BioNTech et Moderna), les anesthésiques dentaires tels que la prilocaine, et d'autres préparations injectables. Dans ces contextes, les ACF apparaissent comme des domaines cristallins structurellement couplés à des éléments fibreux ou filamenteux, présentant souvent une géométrie organisée, des inclusions internes et des interfaces de phase nettes. Il convient de noter que ces assemblages sont observés directement au sein d'échantillons pharmaceutiques scellés ou fraîchement préparés, excluant toute explication fondée sur l'excrétion biologique ou la contamination environnementale.

Des architectures comparables ont également été identifiées dans des liquides biologiques, incluant le sang et l'urine. Dans ces échantillons, les ACF se présentent fréquemment sous la forme de croissances cristal-lines centrées sur des fibres, de morphologie lobée ou radiale, parfois encastrées dans des matrices protéiques ou gélatineuses, ou adjacentes à celles-ci. Bien que les environnements biochimiques diffèrent substantiellement des préparations pharmaceutiques, la logique structurelle sous-jacente — couplage fibre-cristal, stabilité de phase et régularité géométrique — demeure constante.

La présence d'ACF dans ces différents domaines suggère que leur formation est moins régie par une composition chimique spécifique que par des conditions physiques ou mésoscopiques communes, telles que les transitions de phase, les domaines de cohérence ou des processus d'auto-assemblage sensibles aux champs.

Notamment, ce même motif a été observé via diverses techniques de microscopie et méthodes de préparation, ce qui réduit davantage la probabilité d'un artéfact procédural.

De manière cruciale, la présence d'ACF tant dans des contextes biologiques que non biologiques recadre la question interprétative. Plutôt que d'interroger la substance dont sont composées ces structures, l'enquête la plus fructueuse porte sur les conditions dans lesquelles de telles architectures émergent de manière systématique. Ce glissement de l'identité compositionnelle vers le comportement structurel s'inscrit dans

un cadre théorique systémique et de la matière molle, au sein duquel une morphologie organisée peut naître d'interactions dynamiques entre matériaux, champs et conditions aux limites.

L'ensemble de ces observations indique que les Assemblages Cristal-Fibre représentent un phénomène structurel récurrent traversant des domaines traditionnellement considérés comme distincts. Leur occurrence constante au sein des préparations pharmaceutiques et des liquides biologiques suggère une logique physique sousjacente régissant l'organisation à phases couplées, plutôt que des anomalies isolées liées à la composition ou à la préparation. Cette étude examine par conséquent les ACF comme des résultats contingents aux phases au sein de systèmes de matière molle réactifs, en accordant une attention particulière aux conditions dans lesquelles la cristallisation est permise, inhibée ou redirigée. Les résultats qui suivent privilégiuent la convergence observationnelle, la divergence et les conditions aux limites, plutôt que la simple fréquence.

La section Résultats privilégie par conséquent la convergence, la divergence et l'exception observationnelles, plutôt que la seule fréquence.

## Méthodes

### Microscopie

Microscope LED Neogenesis System 9W

Ce système était équipé d'une caméra USB HD compatible HDFMI (résolution maximale 3264 × 1836). Il était doté de condenseurs interchangeables :

- Condenseur à champ clair : Condenseur d'Abbe avec filtre dépoli (AN 1,25)
- Condenseur à fond noir : Condenseur cardioïde à immersion d'huile

### Préparation des lames

- Fabricant : Livingstone International Pty Ltd
- Dimensions : 76,2 × 25,4 mm ; épaisseur : 0,8–1,0 mm
- Nettoyage : Tampon d'alcool isopropylique stérile à 70 % ; séchage avec des lingettes Kimtech™

### Manipulation et préparation des échantillons

L'imagerie des échantillons a été effectuée sans fixation chimique, coloration ni déshydratation.

Les fluides ont été transférés directement sur des lames de verre nettoyées et observés principalement par microscopie à fond noir, entre quelques minutes et quelques heures après la préparation. L'usage de lamelles couvre-objets a été restreint aux cas nécessitant des objectifs à fort grossissement et n'avait point pour but d'induire de modification structurelle. Dans tous les cas, le processus organisationnel prédominant fut l'évaporation de gouttes sessiles (SDE). Lorsque cela était spécifié, une imagerie complémentaire en Champ clair a été employée afin de confirmer la morphologie. Aucun réactif externe n'a été ajouté, et aucune tentative n'a été entreprise pour induire la cristallisation ; les structures observées ont émergé spontanément dans les conditions décrites.

Des clichés additionnels ont été fournis par des collaborateurs indépendants exploitant des systèmes de microscopie optique comparables, permettant l'imagerie en fond noir et l'Imagerie à contraste de phase à des grossissements allant de 40× à 400×. Bien que les configurations matérielles spécifiques aient varié, tous les systèmes présentaient des contraintes optiques équivalentes au regard des observations décrites.

## Résultats

Parmi les configurations d'ACF les plus remarquables observées au sein de la formulation Pfizer-BioNTech figuraient des assemblages cristallins complexes reliés par des filaments souples et incurvés. Ceuxci sont apparus précocement durant le cycle de vie de l'échantillon et présentaient systématiquement une symétrie structurée, avec des plaques rectangulaires et trapézoïdales couplées par des réseaux de fibres ramifiés ou en guirlande. La géométrie, l'espacement et l'interconnectivité suggèrent un comportement d'assemblage actif plutôt qu'une agrégation fortuite.



Figure 1. Figure 1. Réseau précoce d'ACF («daisy chain») dans le Pfizer-BioNTech Comirnaty, illustrant les liaisons cristal-fibre et la complexité nodale. Encart : vue à fort grossissement avec échelle (10 µm)

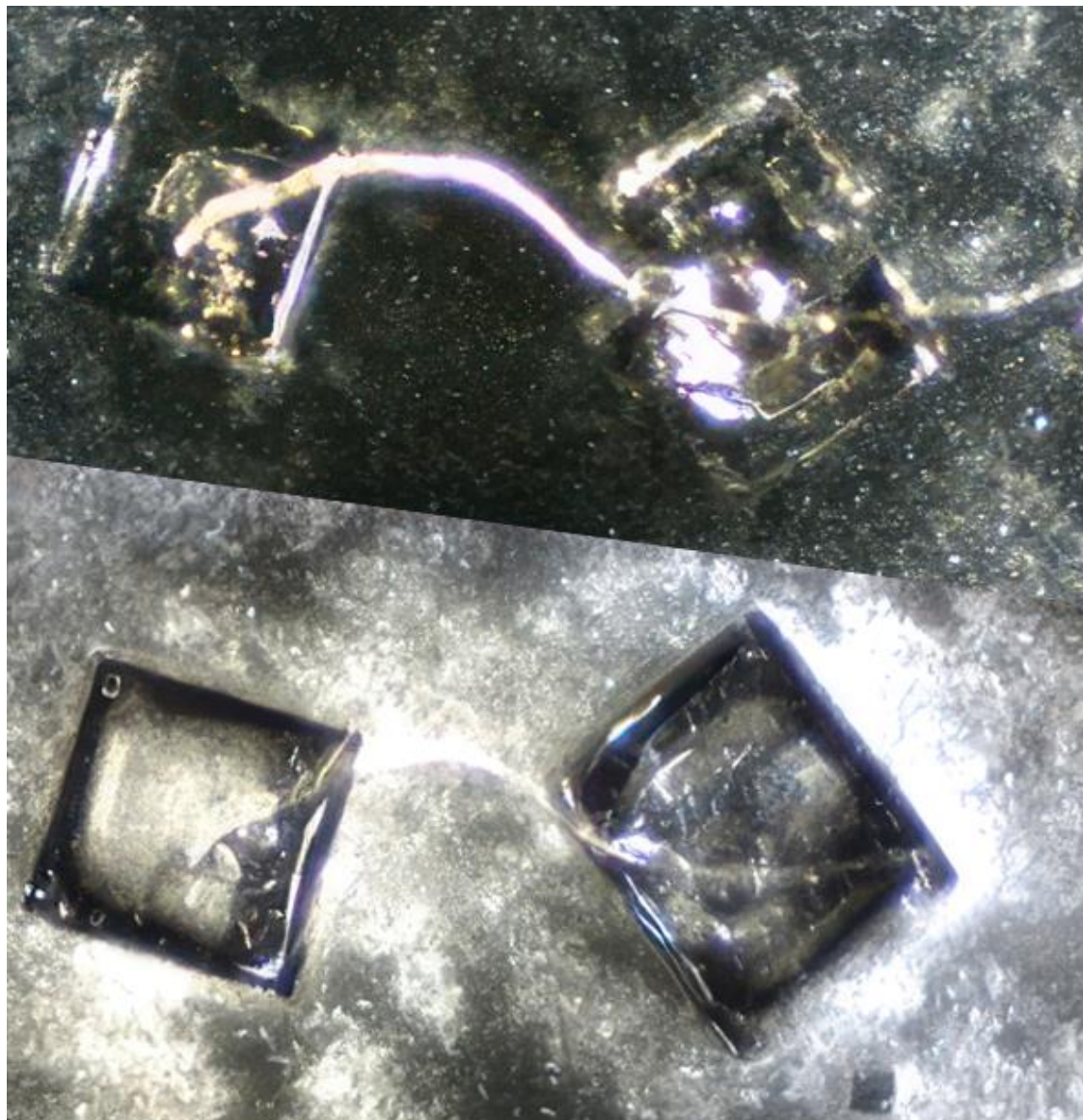


Figure 2. Structure d'ACF imagée à deux mois d'intervalle sous un grossissement identique et une orientation correspondante. Haut : présentation à un stade précoce avec des limites partiellement résolues, une fixation de fibre et une topographie interne irrégulière. En bas : même assemblage après deux mois de conservation à température ambiante, présentant désormais une résolution géométrique complète, une articulation nette des arêtes et une connectivité interfibres stable. Grossissement 200x.

Ce couplage temporel rend la logique de développement du système d'ACF indubitable. Les deux cristaux, initialement flous et fragmentés, évoluent vers des géométries carrées bien formées avec une épaisseur de bord constante, des domaines internes distincts et ce qui semble être des points d'ancre aux angles. La fibre d'interconnexion non seulement persiste, mais conserve la mémoire spatiale de son arc, suggérant que la structure dans son ensemble n'est pas simplement stable mais activement

auto-stabilisant. Une telle maturation au fil du temps — en l'absence de tout stimulus externe — renforce l'hypothèse selon laquelle il ne s'agit pas de précipités transitoires, mais de systèmes architecturaux latents, régis par une logique sensible aux champs, une dynamique de cohérence ou des mécanismes de structuration douce intégrés au sein de la formulation elle-même.

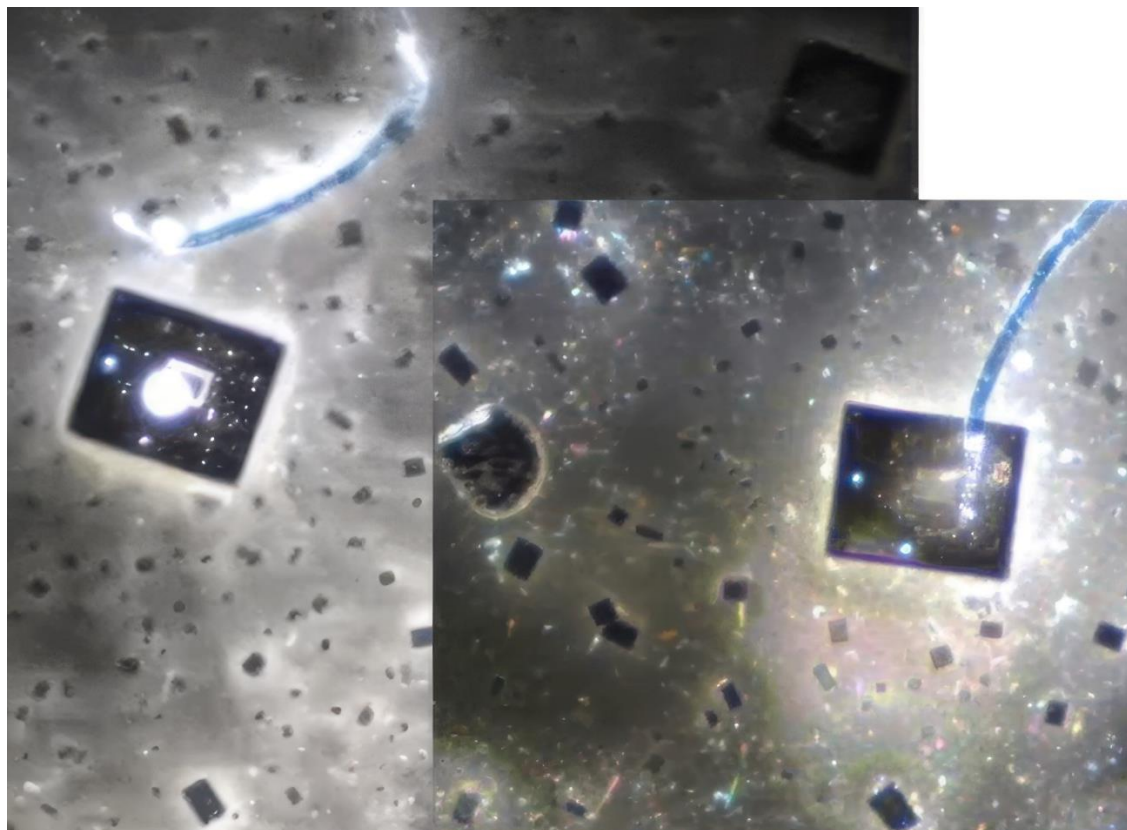


Figure 3. Nœud d'ACF dans le Pfizer-BioNTech Comirnaty observé à deux points temporels différents. Un cristal de forme carrée unique, relié à une fibre bleue flexible, est enchâssé dans un champ de microformes rectangulaires plus petites. À gauche : état initial, présentant une dispersion désordonnée de microformes. À droite : même région deux jours plus tard, montrant une régularité spatiale accrue et un alignement local au sein du champ, tandis que la structure d'ancre demeure inchangée. Aucun stimulus externe appliqué. Grossissement 100x.



Figure 4. Superposition de deux images chronologiquement distinctes illustrant l'évolution d'un cristal d'ACF au sein du produit Pfizer-BioNTech Comirnaty . Le cristal présente une légère rotation et translation ; toutefois, une fibre bleue apparaît sur l'image tardive sans qu'aucune structure précurseure ne soit visible sur le cliché antérieur. Sa position, sa courbure et son point d'insertion suggèrent soit une émergence tridimensionnelle, un assemblage différent ou une insertion structurelle — autant de phénomènes difficilement explicable par la cristallisation conventionnelle ou la dynamique de phase passive.

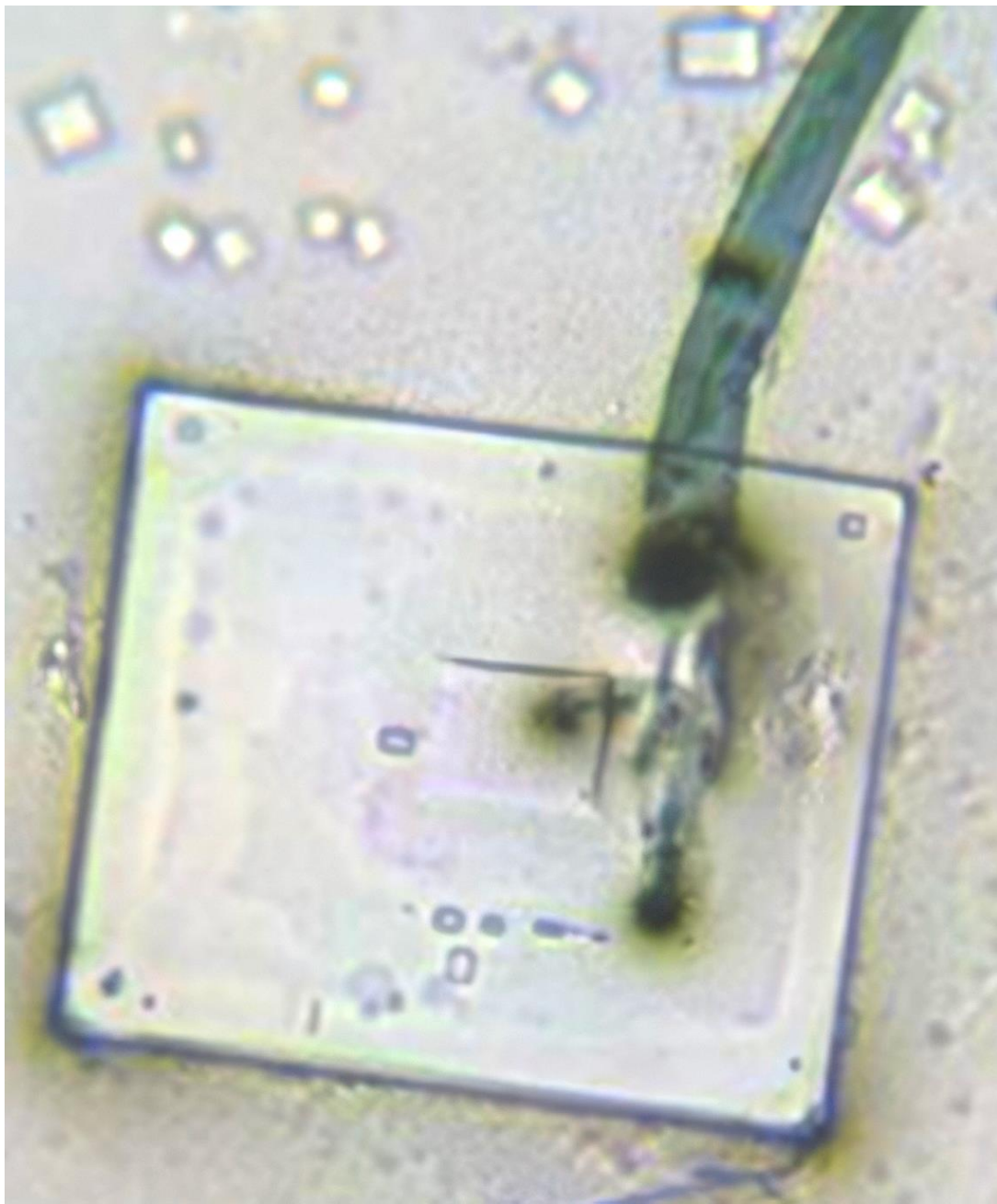


Figure 5. Micrographie en champ clair d'un nœud d'ACF dans le Pfizer-BioNTech Comirnaty, révélant un cristal de forme carrée à la structuration interne distincte, doté d'une fibre à orientation verticale fixée au point de jonction. Plusieurs points d'ancre sont visibles, notamment des nœuds circulaires et ovales, suggérant une cohérence technique ou une conception fonctionnelle. La netteté des arêtes et la symétrie intrinsèque étayent l'interprétation de cette structure comme partie intégrante d'un assemblage cristal-fibre. Grossissement ~400x.

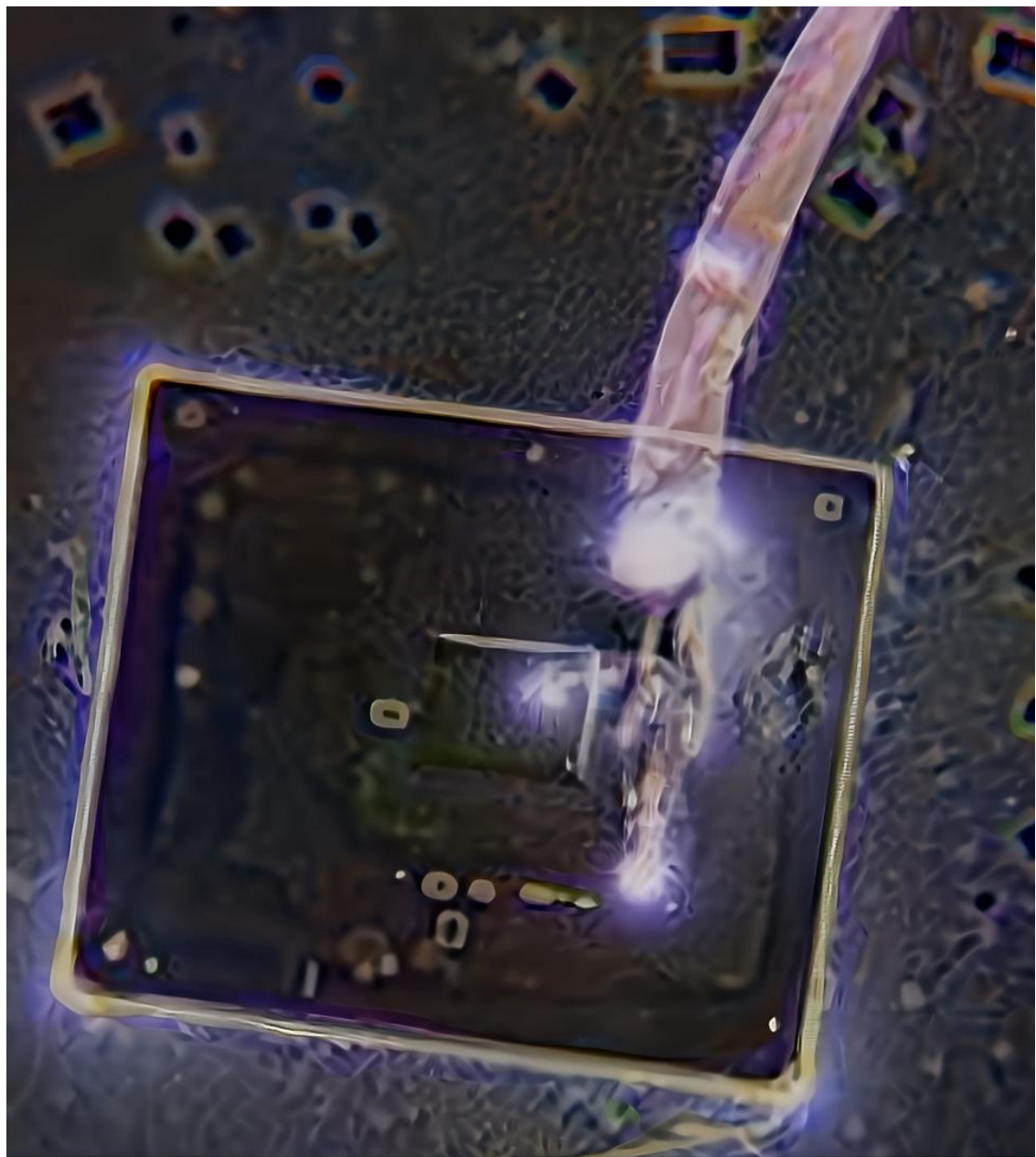


Figure 6. Image inversée et à contraste renforcé d'un nœud d'ACF (Pfizer-BioNTech). La structure carrée présente des caractéristiques de routage interne, des points d'ancrage circulaires et ovales, ainsi qu'une interface de jonction au périmètre cristallin reliée à une fibre orientée verticalement. La régularité, la symétrie et la structuration interne évoquent des parallèles avec des architectures microfabriquées. Les artefacts d'éclairage sont minimaux ; ces caractéristiques sont cohérentes avec le comportement observé sur d'autres unités d'ACF et suggèrent une conception systémique latente ainsi qu'une fonction intégrée.

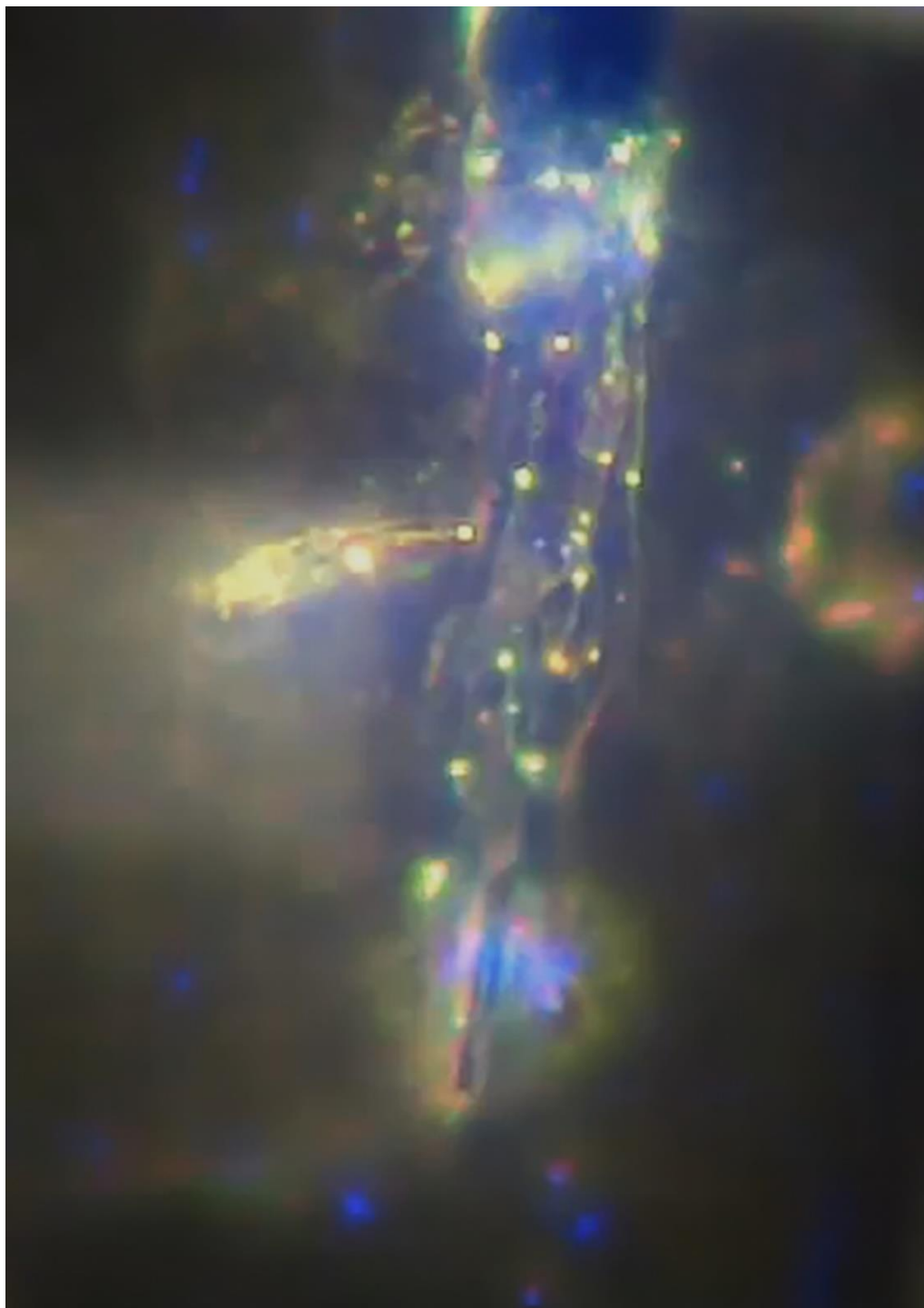


Figure 7. Micrographie en fond noir renforcée d'une jonction cristal-fibre dans le Pfizer-BioNTech Comirnaty. Plusieurs nœuds électroluminescents s'alignent le long de l'axe central, suggérant une structure interne cohérente. La fibre semble intégrée au cristal, étayant l'hypothèse d'un assemblage par matrice ou guidé au sein du système d'ACF. Grossissement approximatif 500x.

Bien qu'aucune littérature actuelle en science des matériaux ne rende pleinement compte des interactions cristal-fibre observées, la précision et la cohérence entre les échantillons suggèrent l'accès à un niveau d'assemblage micro-échelle programmable dépassant la formulation pharmaceutique conventionnelle.

Il est possible que de telles architectures proviennent de domaines de recherche émergents ou non divulgués, dans lesquels des substrats cristallins et des conducteurs fibreux opèrent en tant qu'éléments intégrés au sein d'un système conçu. La posture responsable, ici, n'est pas la conjecture — mais la reconnaissance d'un ordre inexpliqué, digne d'une investigation approfondie et intégrale.

Parmi les échantillons pharmaceutiques analysés, la formulation Pfizer-BioNTech Comirnaty a produit la séquence d'ACF à résolution temporelle la plus probante. Sur une période s'étendant de quelques heures à plusieurs mois, il a été observé que les architectures cristal-fibre non seulement persistent, mais parviennent à maturité — présentant une symétrie interne, une émission lumineuse spécifique aux noeuds et une extension structurelle guidée en l'absence de stimulus externe. Les jonctions fibre-cristal ont systématiquement révélé une cohérence géométrique et des caractéristiques d'ancre suggérant une autostabilisation programmée. Collectivement, ce cas d'étude fournit la preuve la plus probante à ce jour d'un comportement architectural latent au sein d'une formulation injectable, étayant la classification des ACF en tant que systèmes de Type II dotés d'une logique de conception intrinsèque et d'une mémoire organisationnelle à longue portée.

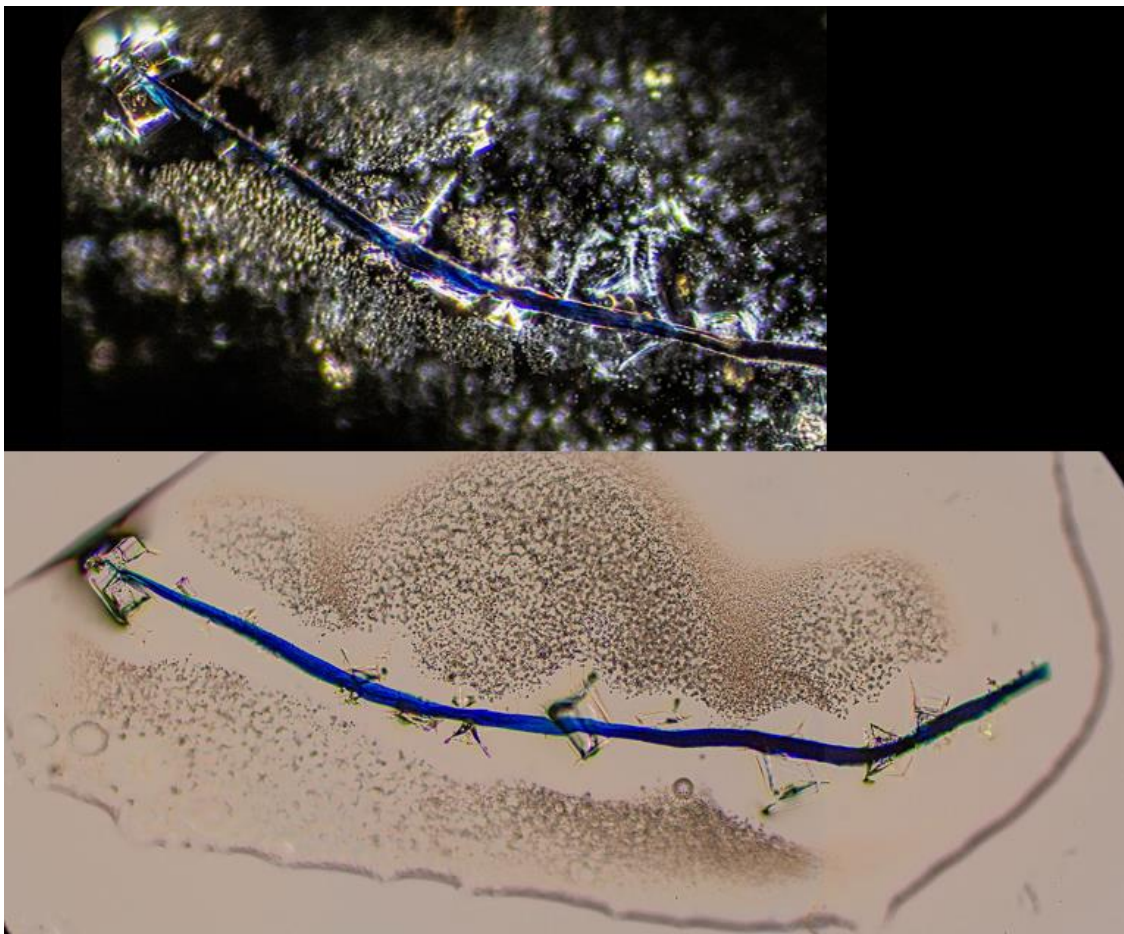


Figure 8. Vues appariées d'un assemblage cristal-fibre dans un échantillon d'anesthésique dentaire après évaporation de gouttes sessiles. Les images en fond noir (en haut) et en champ clair à faible grossissement (en bas) révèlent la même fibre sous différents régimes optiques, démontrant sa continuité, la fixation d'éléments cristallins et son intégration au sein d'un champ particulaire . Grossissement 200x

Si la fibre présente dans ces échantillons n'était qu'un simple contaminant inerte, elle ne devrait pas influencer le comportement du matériau environnant lors de l'évaporation du solvant. Dans les systèmes de séchage conventionnels, la cristallisation intervient tardivement, une fois la majeure partie du solvant évaporée ; les cristaux se forment alors de manière irrégulière en périphérie ou s'agglutinent en amas désordonnés. Une fibre passive serait recouverte ou enfouie par un tel processus. Au contraire, ce qui est observé ici — et dans la majorité des préparations comparables examinées — est une cristallisation précoce répartie le long de la fibre, caractérisée par une fixation répétée et cohérente plutôt qu'un empilement chaotique. Cela suggère que la fibre altère les conditions aux limites locales lors de la dessiccation et participe à l'organisation du matériau environnant. Bien qu'un comportement véritablement « normal » ait été observé occasionnellement, il a constitué l'exception plutôt que la règle, la plupart des échantillons présentant un certain degré d'organisation associée aux fibres.

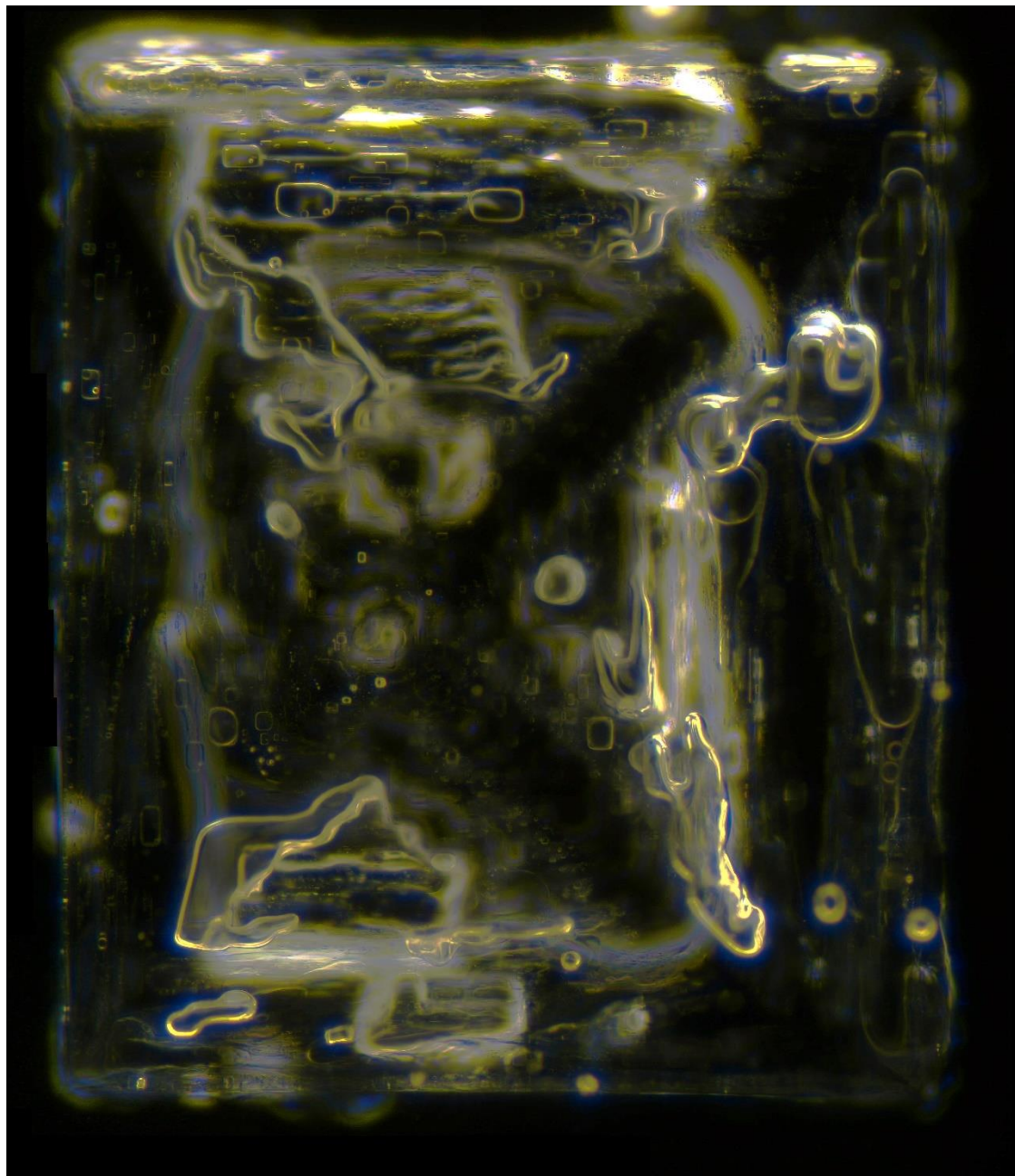


Figure 9. Cristal d'ACF complexe formé à partir d'un anesthésique dentaire après évaporation de gouttes sessiles. L'architecture rectangulaire présente une organisation interne stratifiée, incluant des canaux incurvés, des points nodaux intégrés et des lignes de routage apparentes. Aucun champ externe ni réactif n'a été appliqué. Grossissement ~40x.

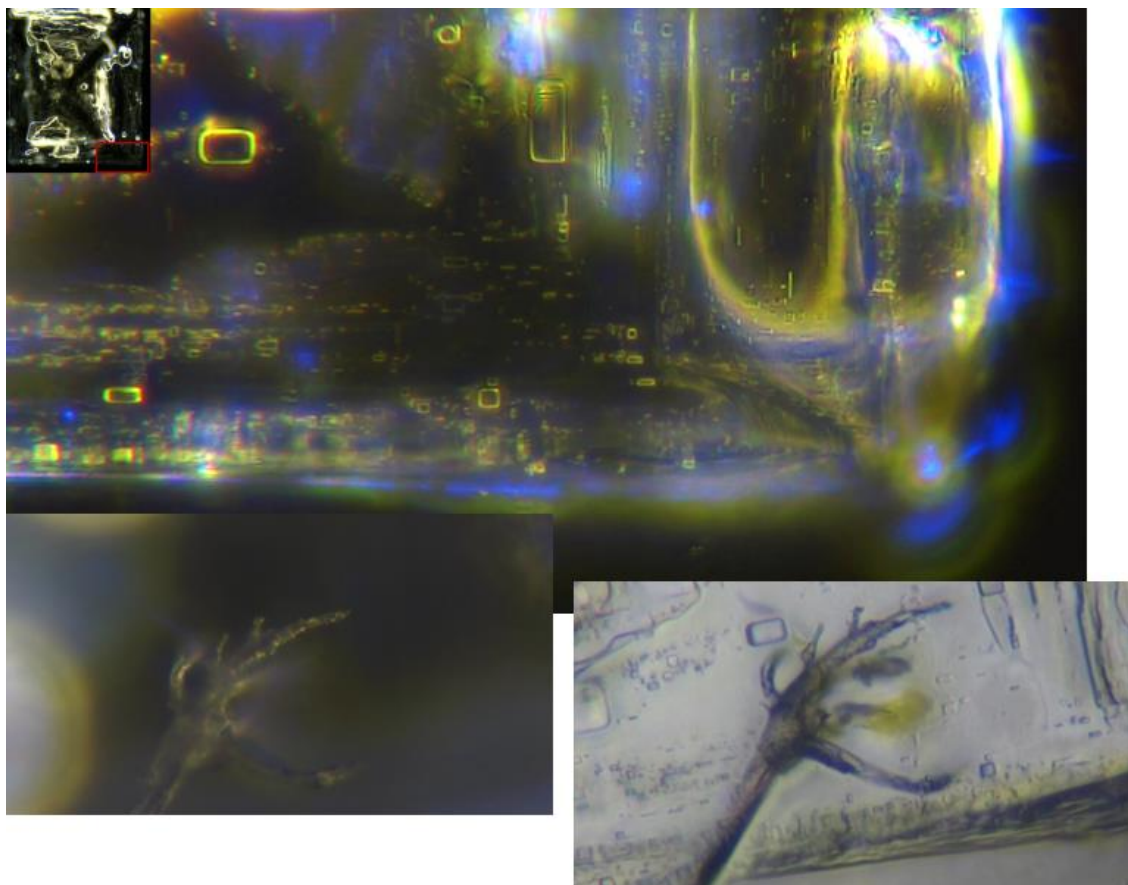


Figure 10. Panneau composite illustrant l'émergence de la fibre à partir du cristal d'ACF de la Figure 8. En bas à gauche : image à fond noir acquise au jour 2, révélant une fibre ramifiée s'étendant depuis le bord inférieur du cristal.  
En bas à droite : image en champ clair de la même région, confirmant la continuité fibre-cristal et l'alignement structurel interne .  
En médaillon (en haut à gauche) : vue d'ensemble du cristal, le rectangle rouge délimitant la zone d'intérêt.

Cette structure présentait les quatre critères définitoires des ACF, incluant le couplage cristal-fibre intégré , la régularité géométrique, la persistance temporelle et la complexité nodale interne.  
Apparaissant initialement sous la forme d'un cristal rectangulaire dense, il a révélé au deuxième jour une extension fibreuse bifurquée stable, dont la clarté et l'ancre sont demeurés manifestes pendant plus de cinq mois.  
La séquence complète — acquise en champ clair, en fond noir et par imagerie composite — constitue l'ACF de type II le plus probant du corpus, la fibre traversant l'interface cristalline pour s'intégrer à son architecture interne.  
Ce cas offre un cadre de référence déterminant pour l'étude de la cohérence synthétique au sein des systèmes de matière molle pharmaceutiques.

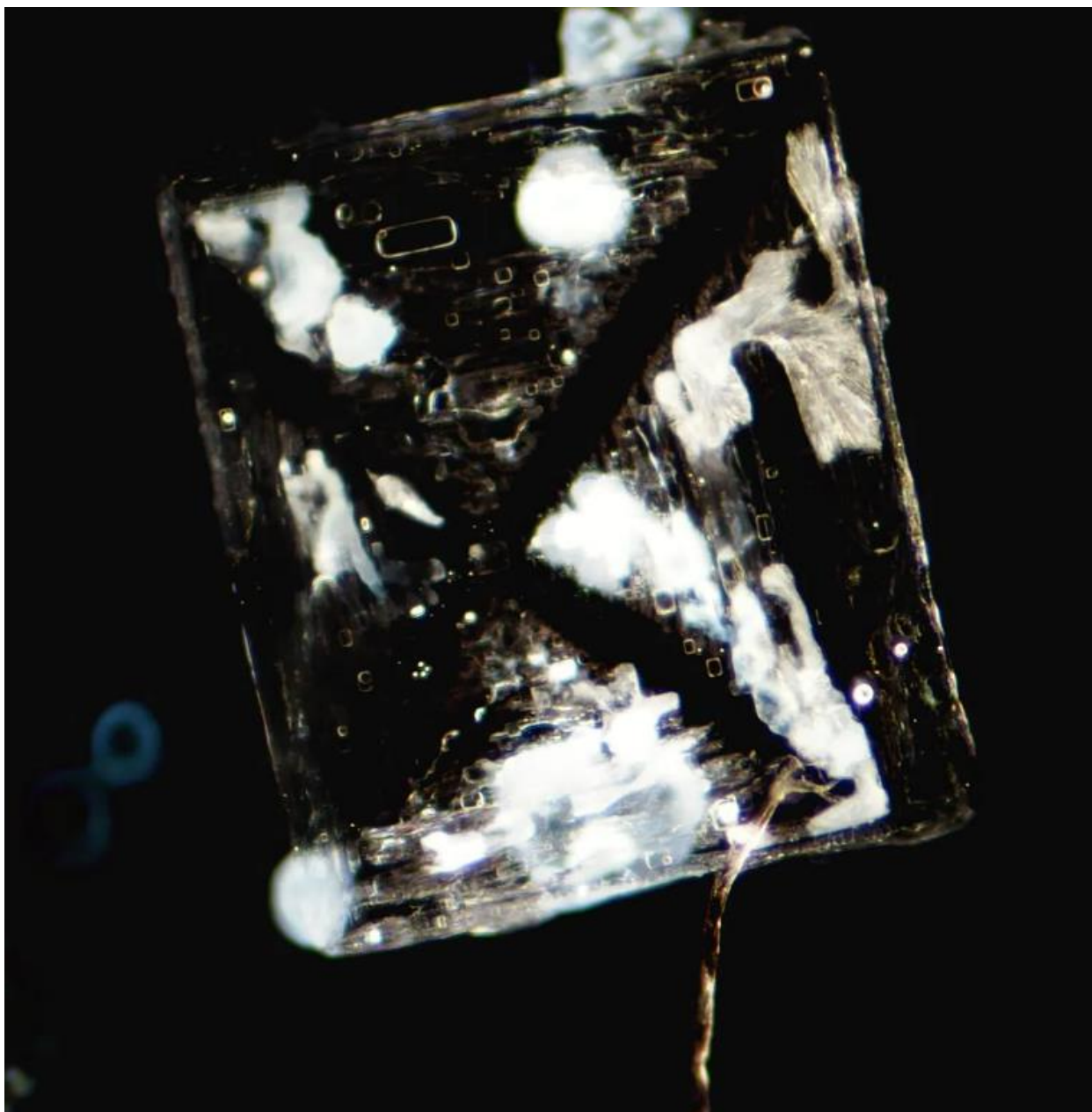


Figure 11. Image à fond noir d'une structure cristalline rectiligne présentant des motifs cercle-rectangle (MCR) internes, accompagnée d'une fibre liée caractéristique d'un assemblage cristal-fibre (ACF). L'organisation géométrique et le couplage fibre-cristal sont clairement résolus. Grossissement 20x.

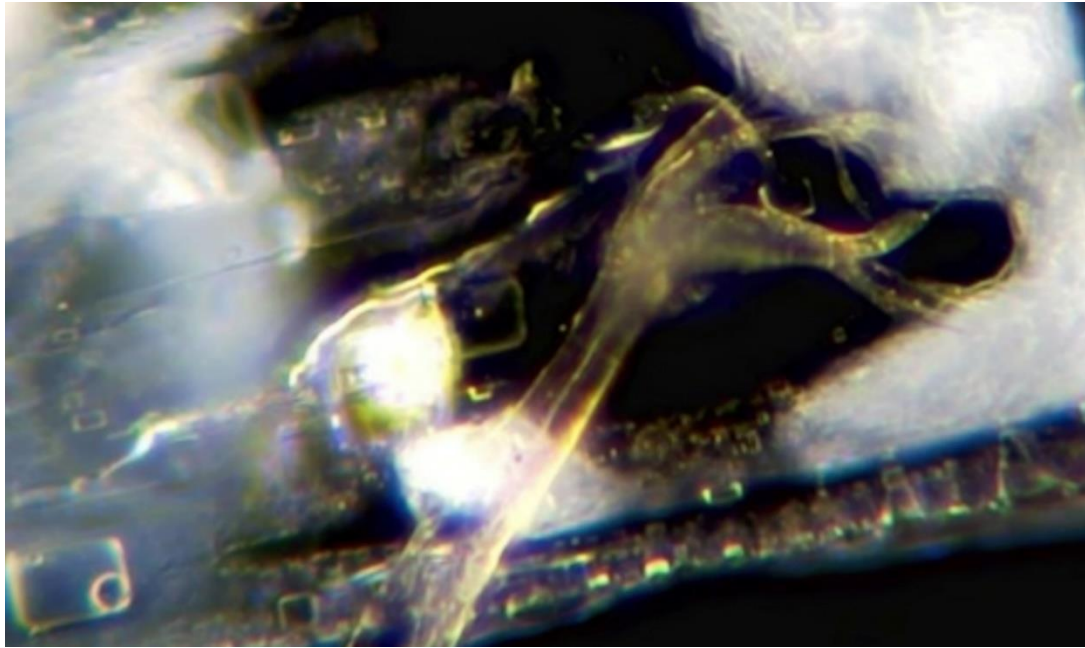


Figure 12. Image à fond noir d'une fibre s'étendant à partir d'une structure cristalline. Cinq mois après la formation initiale, la fibre demeure physiquement connectée, ce qui témoigne d'une stabilité structurelle à long terme. Grossissement 200x.

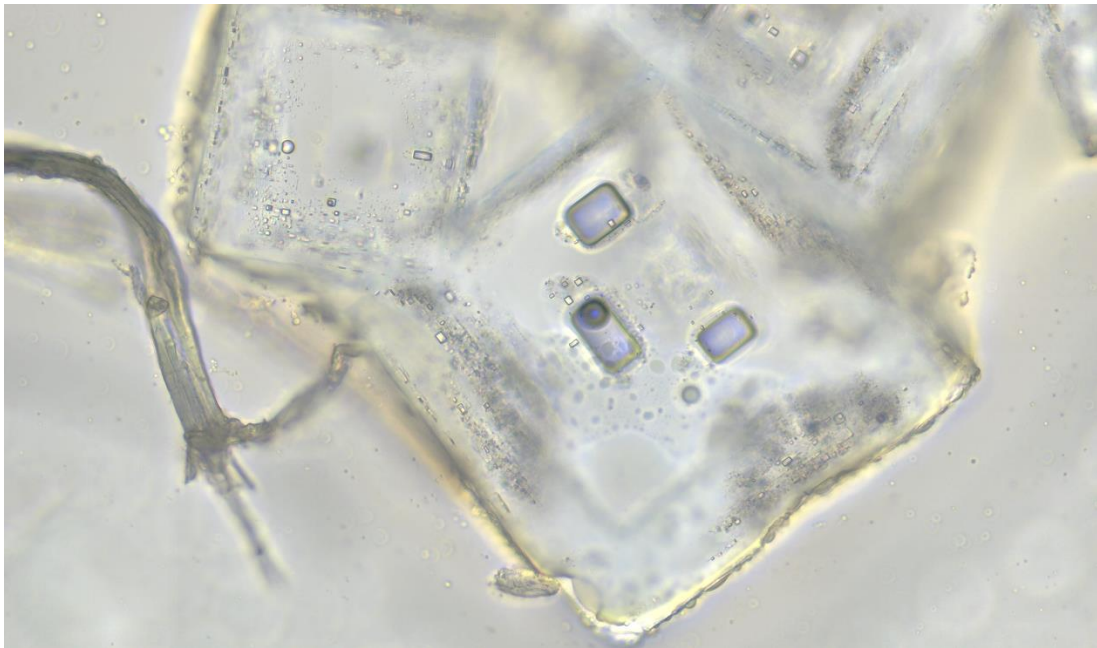


Figure 13. Image à fond noir d'une structure cristalline rectiligne formée dans une formulation différente d'anesthésique dentaire. Malgré des différences d'aspect de surface et de clarté interne, le cristal présente la même organisation géométrique et les mêmes inclusions rectilignes internes que celles observées dans les autres échantillons. Grossissement 200x.

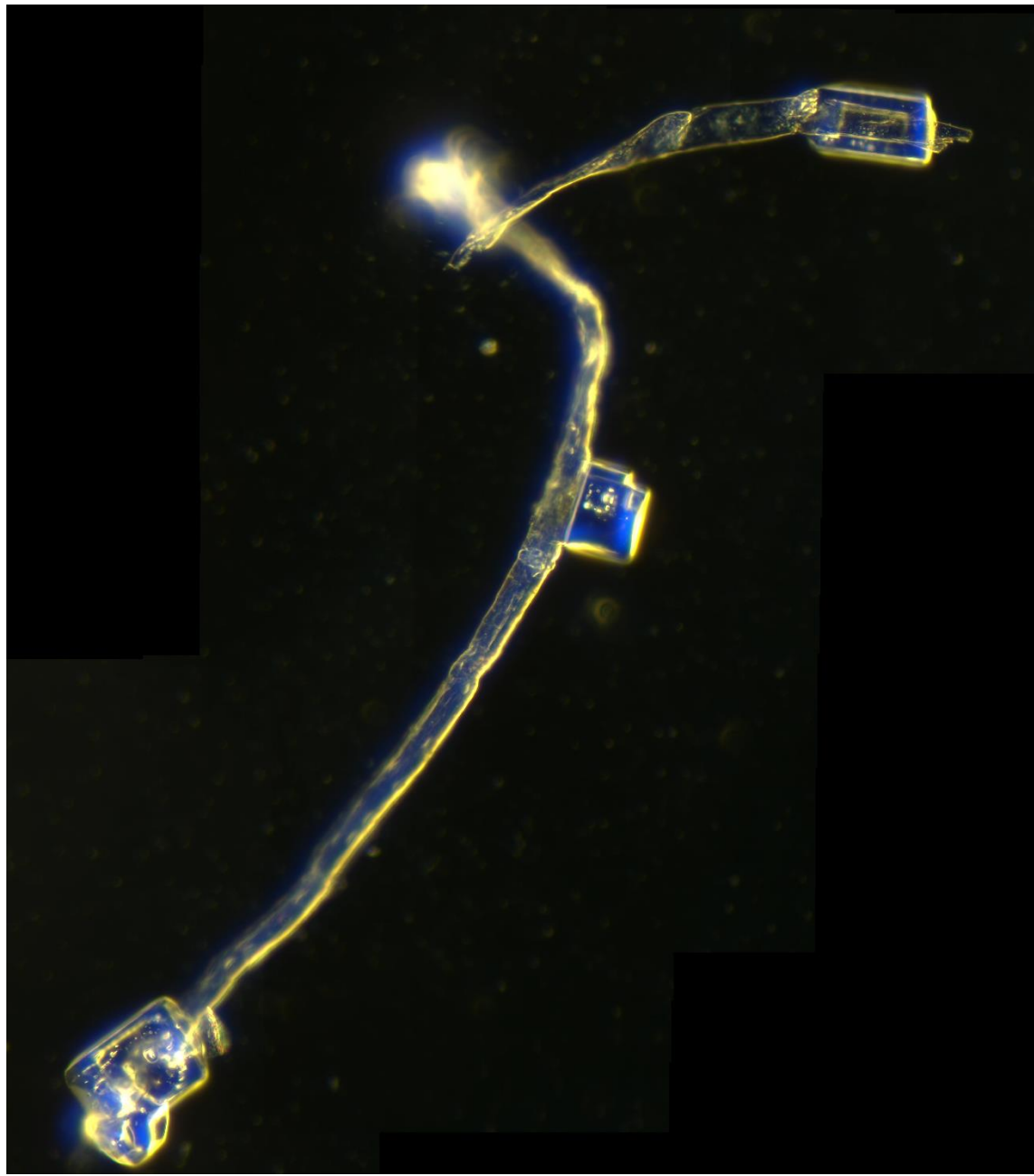


Figure 14. Assemblage Cristal-Fibre présentant une continuité fonctionnelle à travers une fibre physiquement discontinue. Deux segments de fibre présentant des propriétés optiques, une courbure et une géométrie de nœud identiques se terminent en domaines cristallins de forme carrée malgré un espace intermédiaire. L'imagerie à profondeur de champ étendue (EDF) capture les deux segments dans une seule image, tandis que les vues non-EDF confirment une réelle discontinuité physique.  
Grossissement 200x.

Dans plusieurs cas, des interactions fibre-cristal ont été observées en l'absence de tout contact physique continu. Dans l'exemple illustré à la Figure X, la fibre présente une discontinuité manifeste, un espace visible séparant deux segments qui partagent néanmoins des propriétés optiques, une épaisseur et une courbure identiques. Chaque segment aboutit à un nœud cristallin géométriquement cohérent, et la configuration globale se comporte comme un assemblage intégré unique plutôt que comme deux fragments indépendants.

L'imagerie à profondeur de champ étendue permet de visualiser les deux segments de fibre au sein d'une seule image, tandis que les vues sans EDF confirment que la discontinuité est réelle et ne résulte pas d'un artéfact de mise au point ou de mouvement. Ces observations indiquent que la continuité matérielle directe n'est pas un prérequis à l'influence exercée par les fibres sur la morphologie cristalline ou l'orientation.

L'organisation du système semble plutôt régie par des interactions sans contact, suggérant que les fibres peuvent exercer un guidage structurel ou des effets de couplage à travers de faibles intervalles spatiaux .

Un comportement similaire a été documenté dans des échantillons de Pfizer Comirnaty, où les fibres semblent maintenir une influence positionnelle ou orientationnelle sur les domaines cristallins en dépit de ruptures ou de décalages apparents, renforçant l'interprétation selon laquelle ces assemblages opèrent comme des architectures liées par champ ou par cohérence plutôt que comme des constructions purement mécaniques.



Figure 15. Vues séquentielles d'un Assemblage Cristal-Fibre démontrant une continuité fonctionnelle à travers une fibre physiquement discontinue. Sur l'ensemble des panneaux, des segments de fibre présentant des propriétés optiques et une courbure identiques interagissent avec un nœud cristallin commun en dépit d'un interstice visible. Les vues non-EDF confirment la séparation physique, tandis que l'imagerie intégrée souligne le maintien de la cohérence organisationnelle. Grossissement 200x.

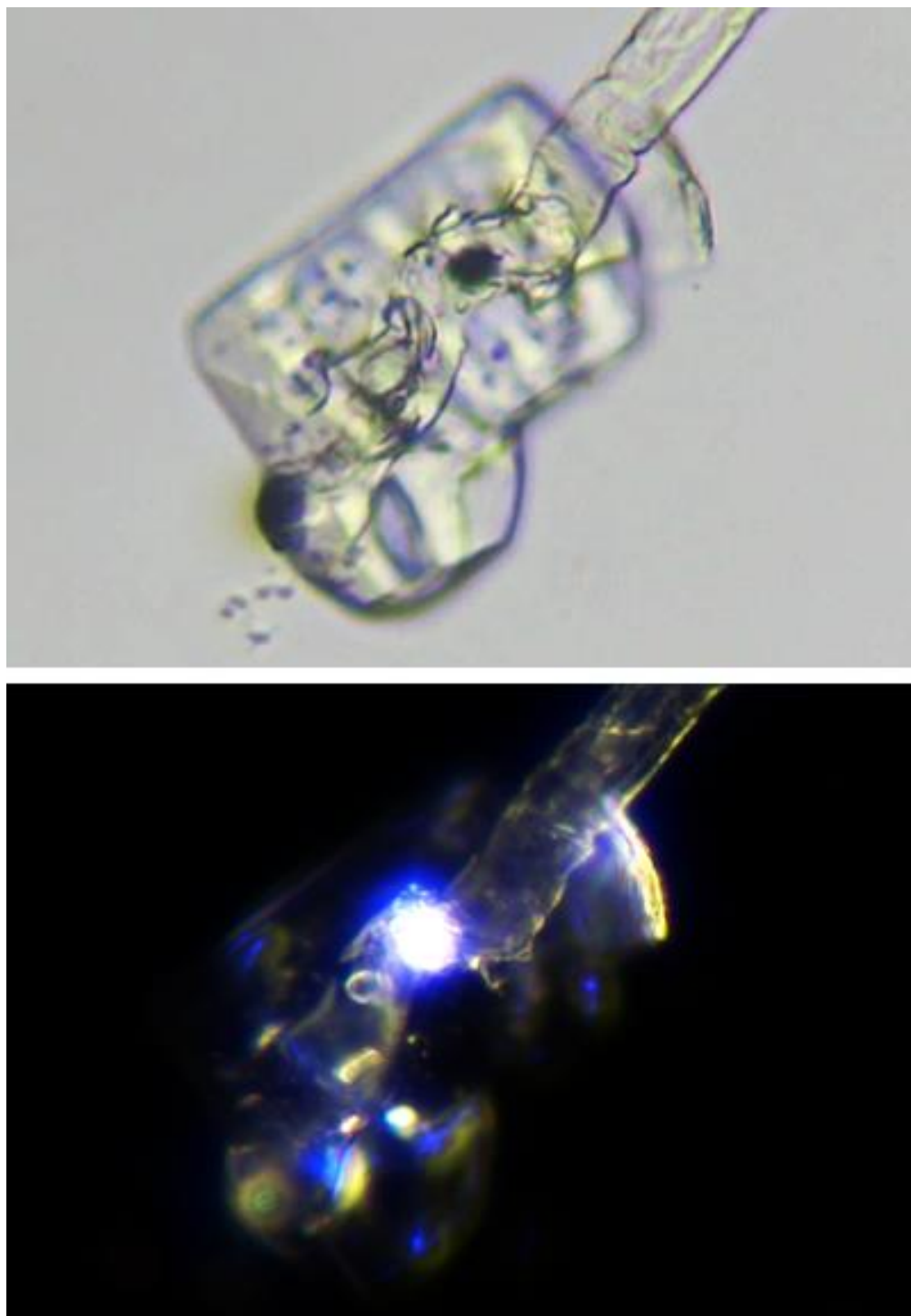


Figure 16. Vues appariées en champ clair (en haut) et en fond noir (en bas) d'un nœud d'Assemblage Cristal-Fibre. L'imagerie en champ clair révèle la géométrie physique de la jonction cristal-fibre, tandis que l'imagerie à fond noir met en évidence une activité optique concentrée au niveau du domaine cristallin et le long de la fibre associée. Grossissement 200x.

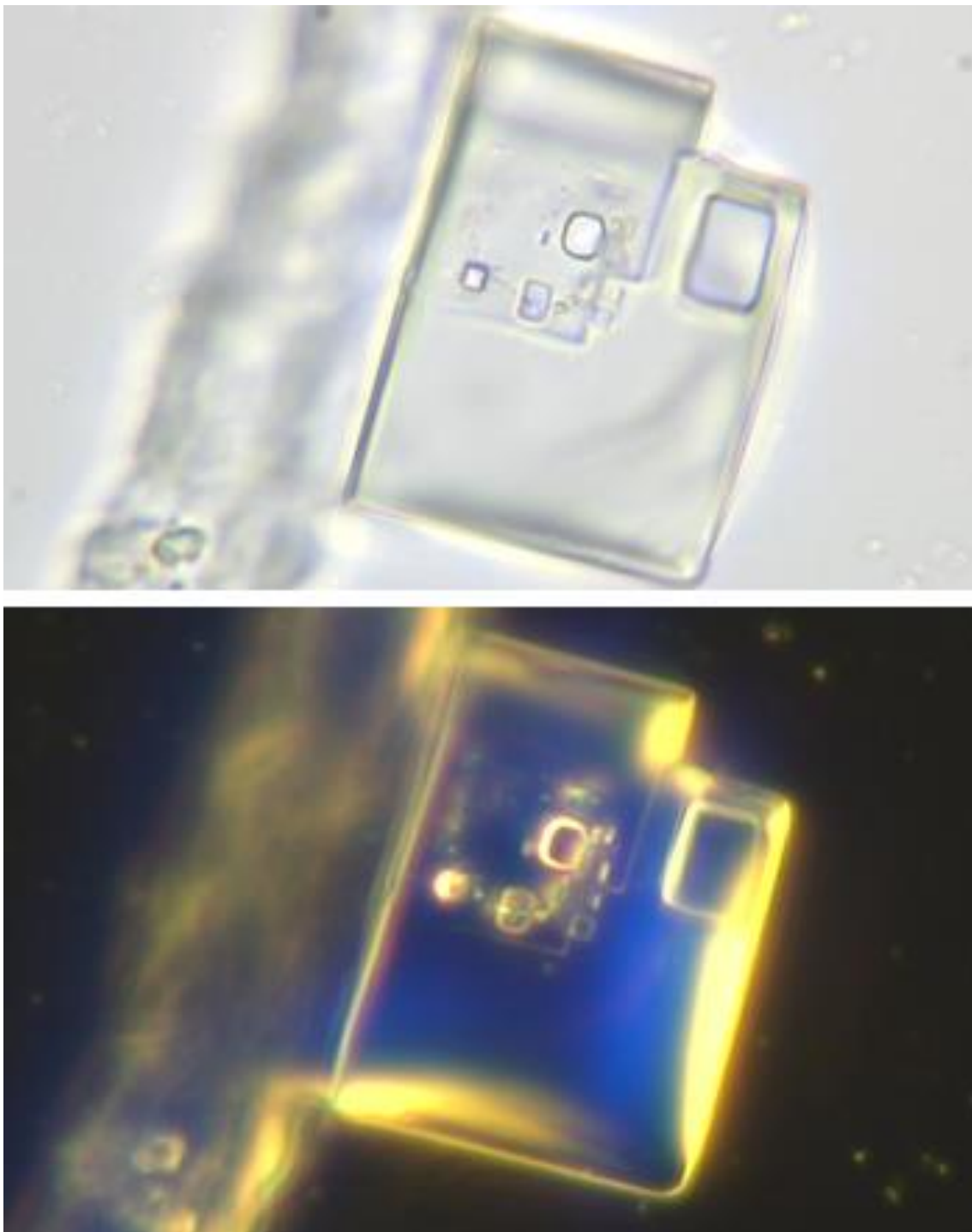


Figure 17. Vues appariées en champ clair (en haut) et en fond noir (en bas) d'un domaine cristallin de forme carrée présentant des inclu-sions rectangulaires internes. L'imagerie en champ clair révèle une géométrie externe et des caractéristiques internes bien définies, tandis que l'imagerie à fond noir souligne une activité optique prononcée, concentrée aux interfaces du cristal et des domaines internes. Grossissement 200x.

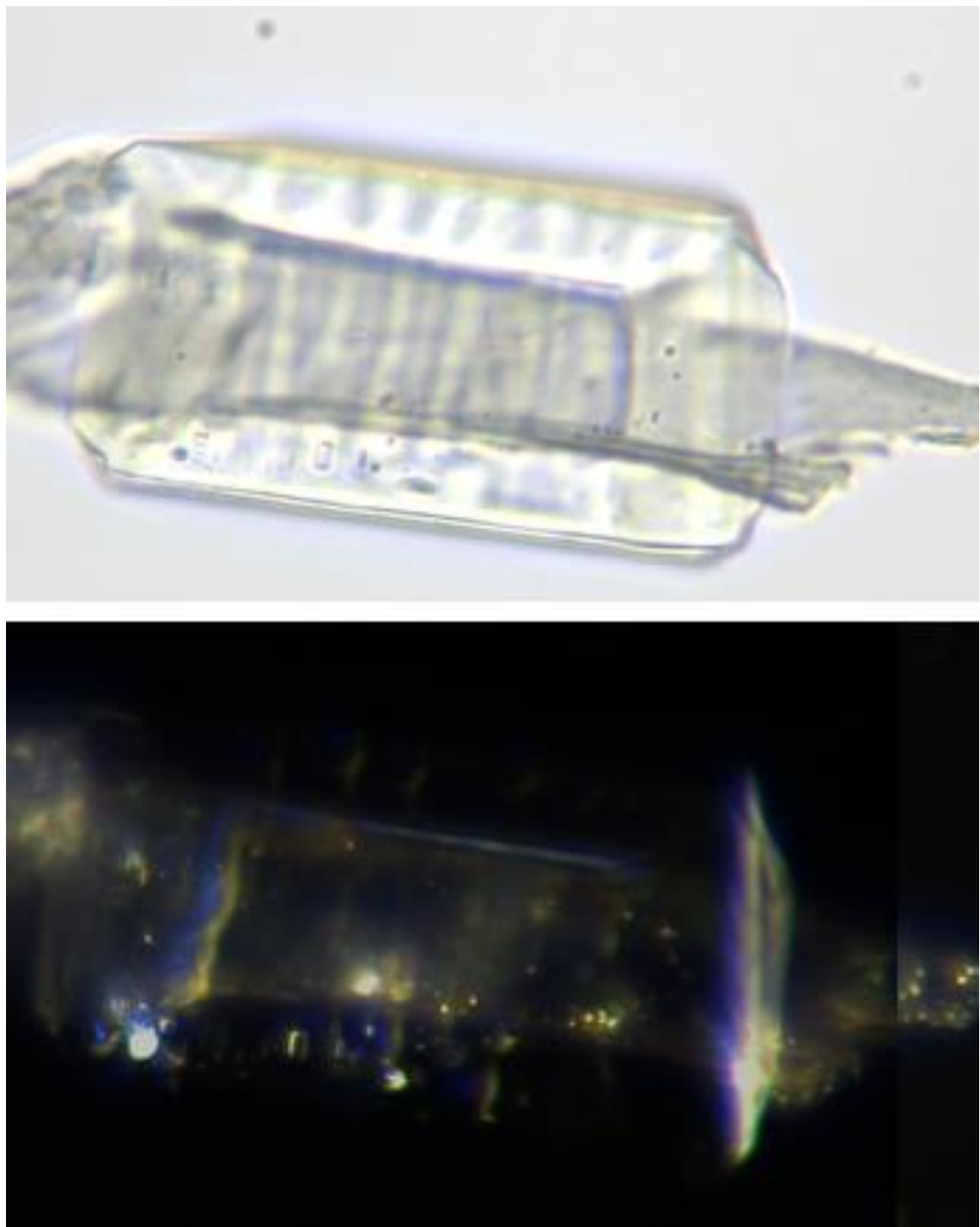


Figure 18. Vues appariées en champ clair (en haut) et en fond noir (en bas) d'une structure cristalline allongée présentant une striation longitudinale interne. L'imagerie en champ clair révèle des caractéristiques internes parallèles et une géométrie externe définie , tandis que l'imagerie à fond noir met en évidence une activité optique répartie sur la longueur du cristal et ses domaines internes. Grossissement 200x.

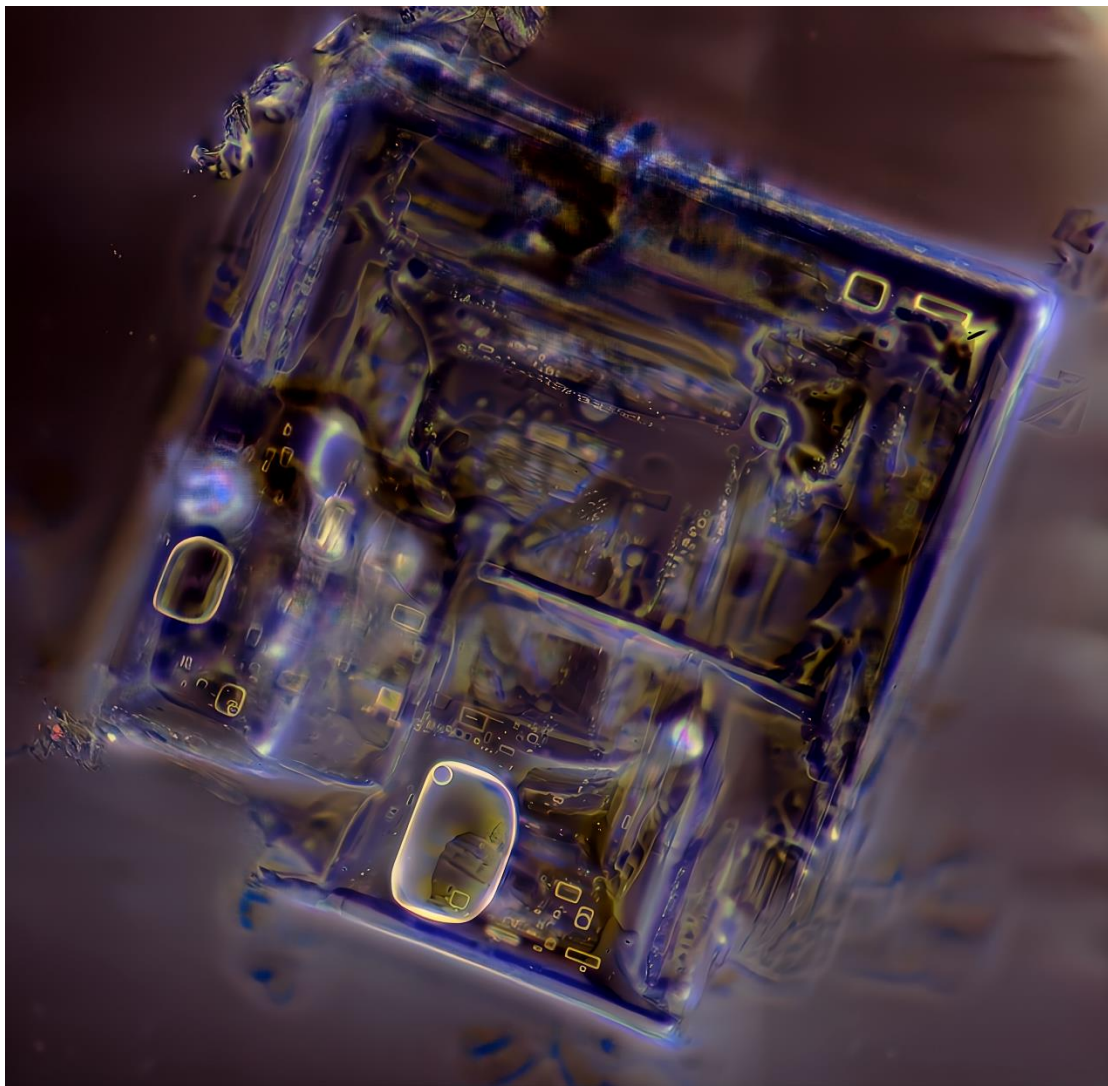


Figure 19. Image inversée en champ clair d'un assemblage de type ACF formé après un second cycle d'évaporation de gouttes sessiles (SDE) dans de la lignocaïne pure (fabriquée en Inde). La structure présente des compartiments rectilignes hautement ordonnés, des enceintes nodales et des motifs répétitifs suggérant une croissance par matrice. L'assemblage s'est produit en l'absence de champs externes ou d'additifs, confirmant l'émergence de formes architecturales cristallines tributaires de la phase dans des conditions ambiantes. Grossissement ~400x.

Notamment, des structures de type ACF de petite dimension ont également été observées dans des préparations d'anesthésiques locaux non dentaires, incluant des formes jonctionnelles compactes présentant une activité optique localisée (Figure 18, milieu gauche), ce qui indique que la formation d'ACF n'est pas restreinte à une formulation ou un contexte clinique unique.

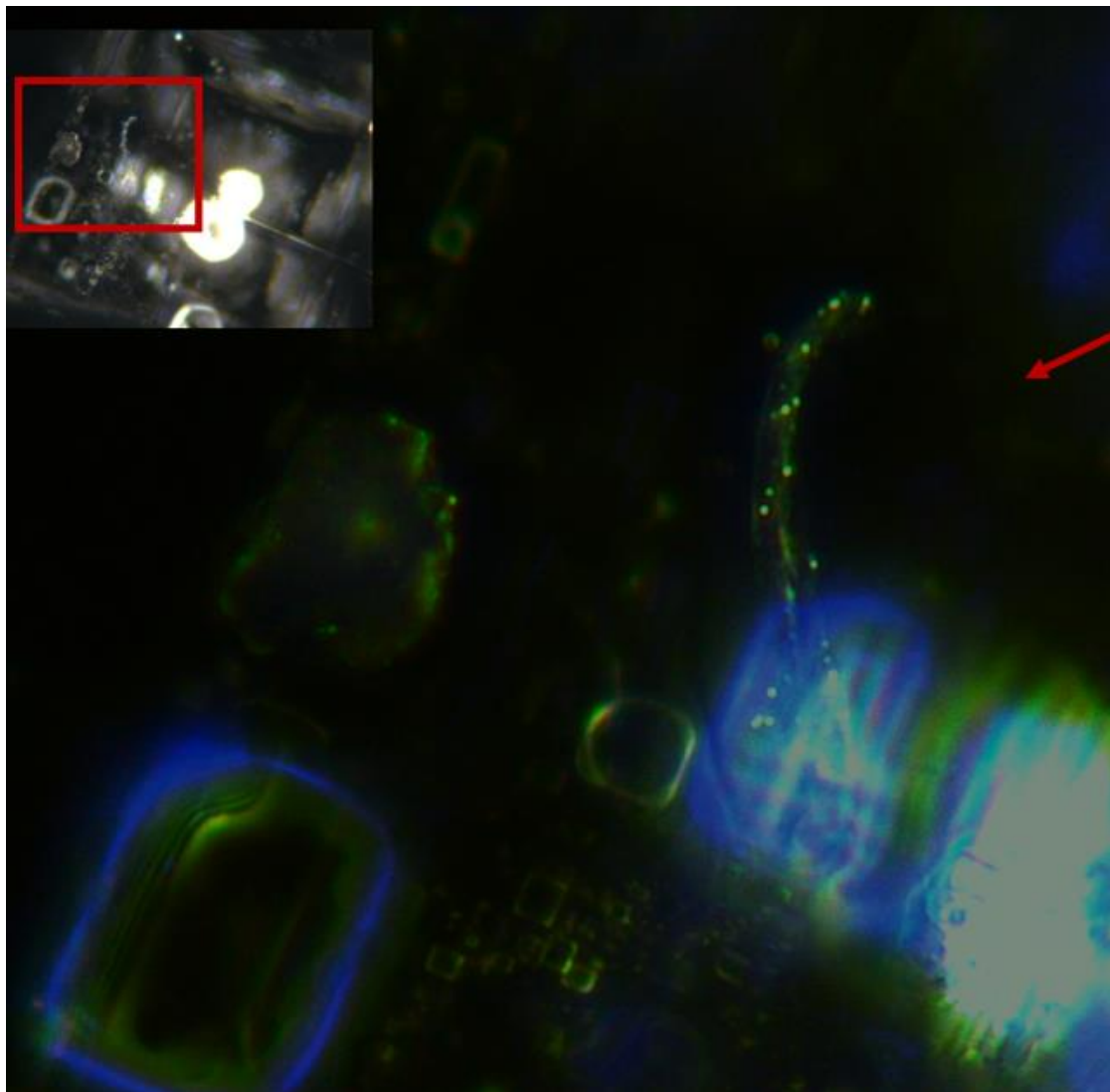


Figure 20. Image à fond noir en gros plan de la jonction de l'ACF sur le même cristal de lignocaïne que celui présenté à la Figure 12. La fibre émerge d'une cavité marginale définie et présente des zones de brillance nodale le long de son arc, en cohérence avec les architectures d'ACF observées précédemment. L'encart (en haut à gauche) illustre le contexte cristallin global, la région d'intérêt étant mise en évidence. Grossissement ~500x.

Une intégration fibre-cristal comparable a également été observée dans des échantillons de vaccins à ARNm Moderna, au sein desquels des éléments fibreux étaient enchâssés dans des domaines cristallins à l'échelle micrométrique (voir Figure 20).



Figure 21. Fibre intégrée au sein d'une structure cristalline dans un échantillon de vaccin à ARNm Moderna. La microscopie à fond noir révèle un élément fibreux enchâssé traversant un assemblage cristallin multilobé, présentant une contrainte mutuelle apparente entre la courbure de la fibre et la morphologie cristalline.

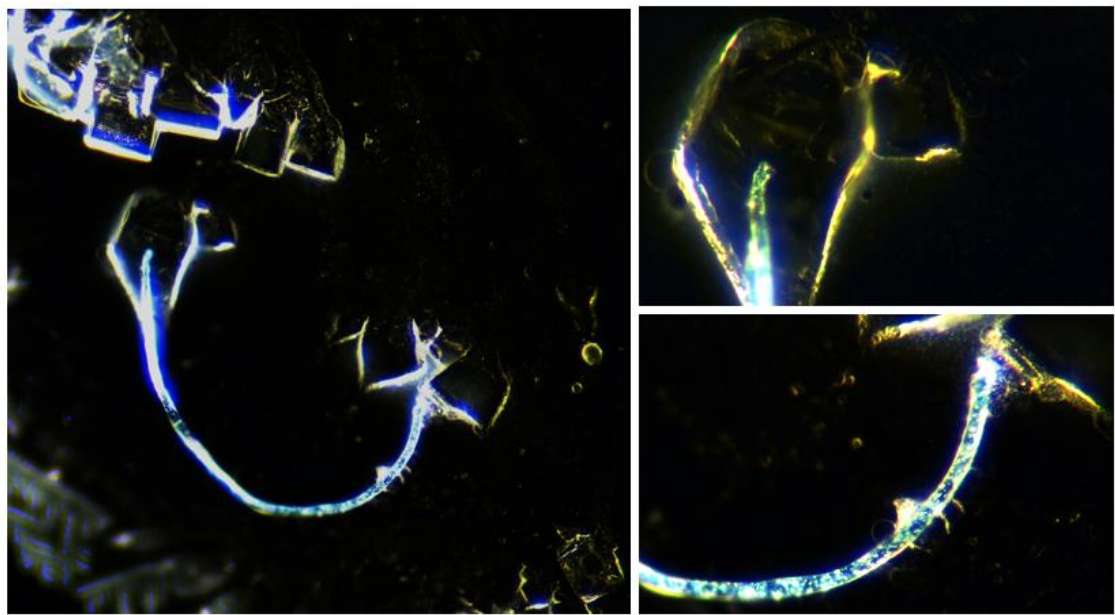


Figure 22. Présentation multi-panneaux d'un Assemblage Cristal-Fibre (ACF) formé dans un vaccin antigrippal après quatre cycles successifs d'évaporation de gouttes sessiles. À gauche : vue d'ensemble montrant une fibre courbe continue reliant plusieurs domaines cristallins angulaires dans une architecture en boucle fermée. À droite (haut et bas) : vues à plus fort grossissement des jonctions de l'ACF et des segments de fibre, révélant des sites de fixation définis, des inclusions particulières internes et une activité optique soutenue sur toute la longueur de la fibre. Grossissement 400x.

L'image suivante est remarquable par la clarté de la relation fibre-cristal. Contrairement aux exemples où les fibres apparaissent fixées, alignées ou adjacentes aux surfaces cristallines, la fibre pénètre ici directement le domaine cristallin et persiste à l'intérieur, maintenant une continuité à travers l'interface cristalline.

Le cristal lui-même demeure bien défini, sans aucun signe de fracture, de dissolution ou de distorsion des interfaces au point d'entrée.

Ceci suggère qu'un contact physique direct entre les fibres et les surfaces cristallines n'est pas un prérequis à l'influence structurelle, et que les fibres peuvent agir en tant qu'éléments organisateurs internes ou matrices lors de la cristallisation. Cette observation est particulièrement significative compte tenu de la simplicité du système : le budésonide est distinct des vaccins et des anesthésiques dentaires sur les plans chimique et de la formulation, tout en présentant le même motif architectural. Ceci soutient l'interprétation selon laquelle les Assemblages Cristal-Fibre représentent un comportement d'auto-assemblage généralisable sous certaines conditions, plutôt qu'une anomalie spécifique à une formulation.

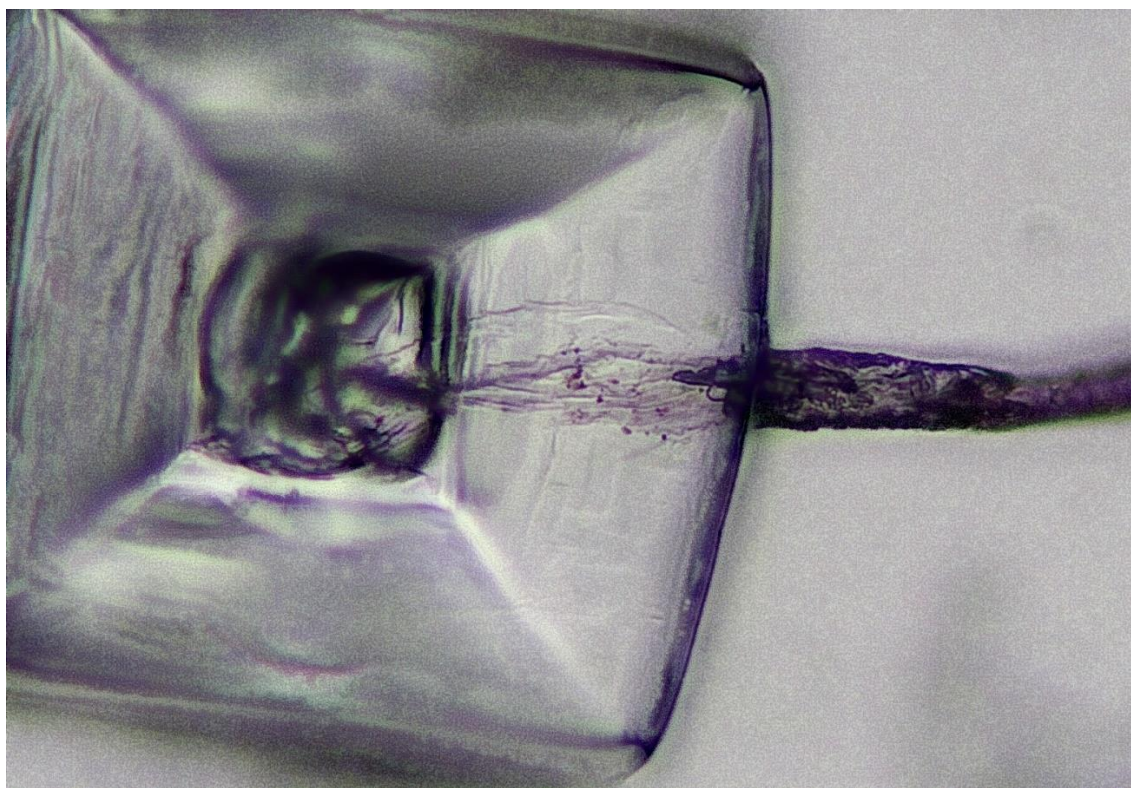


Figure 23. Assemblage Cristal-Fibre observé dans une préparation de budésonide après évaporation de gouttes ses-siles. Une fibre linéaire traverse le domaine cristallin, pénétrant par une face et se poursuivant à l'intérieur sans perturbation apparente de la géométrie du cristal. Imagerie en champ clair. Grossissement 200x.

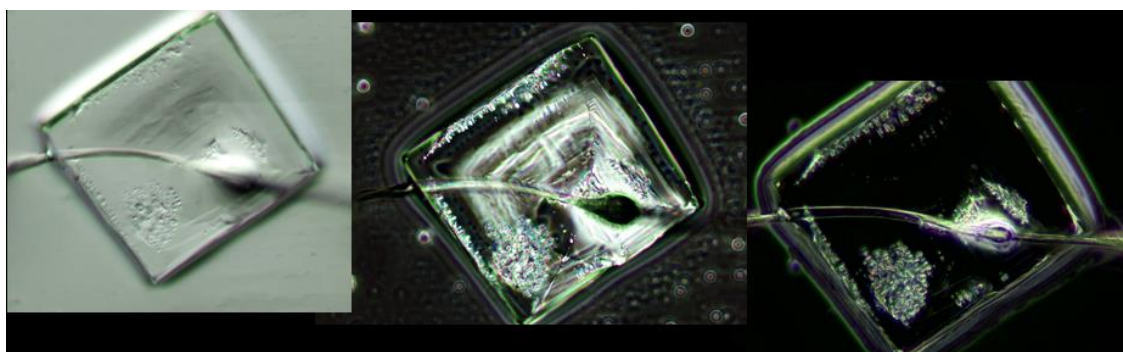


Figure 24. Vues en champ clair, contraste de phase et fond noir d'un Assemblage Cristal-Fibre de budésonide montrant une fibre continue traversant le domaine cristallin, avec une mise en évidence de la géométrie, de la structure interne et de l'activité optique selon la modalité employée. Grossissement 200x.

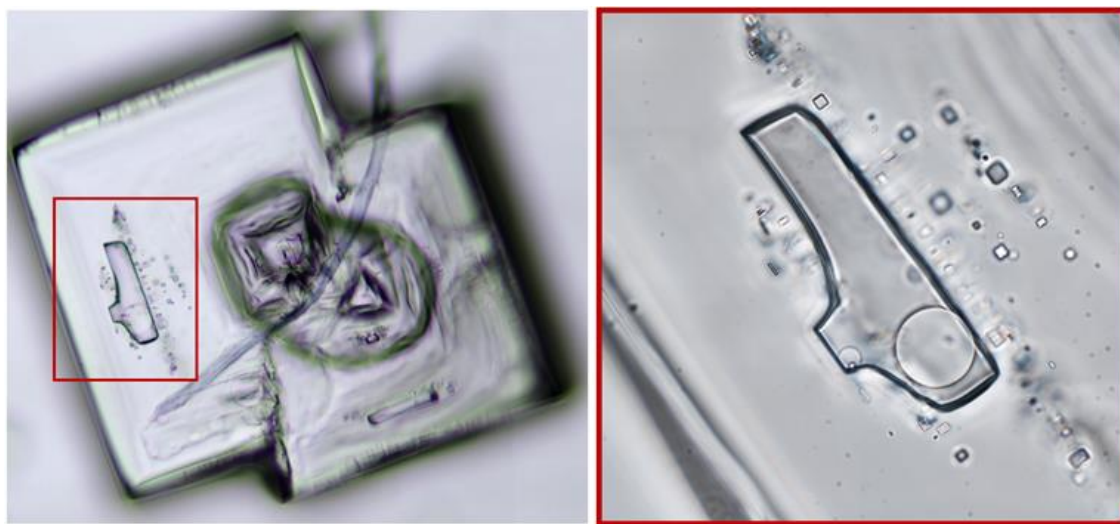


Figure 25. Vue en champ clair d'un domaine cristallin de budésonide contenant une microforme interne allongée (encadrée), présentée à un grossissement supérieur sur la droite. L'inclusion présente des limites rectilignes nettes, une géométrie en gradins et une extrémité arrondie, se distinguant de la texture cristalline environnante.  
Grossissement 200x (gauche), env. 600x (droite).

Cette structure diffère des Assemblages Cristal-Fibre précédemment documentés par le fait que l'élément interne est entièrement enclos au sein du domaine cristallin, plutôt que de se présenter comme une fibre externe ou traversante. La géométrie allongée et régulière ainsi que les bords nettement définis indiquent une structuration interne organisée plutôt qu'une inclusion particulière fortuite. Sa morphologie constante aux différents niveaux de grossissement, conjuguée à l'absence de perturbation du réseau cristallin environnant, suggère un processus de formation par matrice ou à phases couplées survenant durant la cristallisation.

La présence de telles formes internes délimitées dans le budésonide étend le cadre des ACF au-delà des fibres associées en surface, indiquant que des architectures structurées peuvent également émerger sous forme d'éléments enclos et spatialement contraints au sein des cristaux pharmaceutiques.

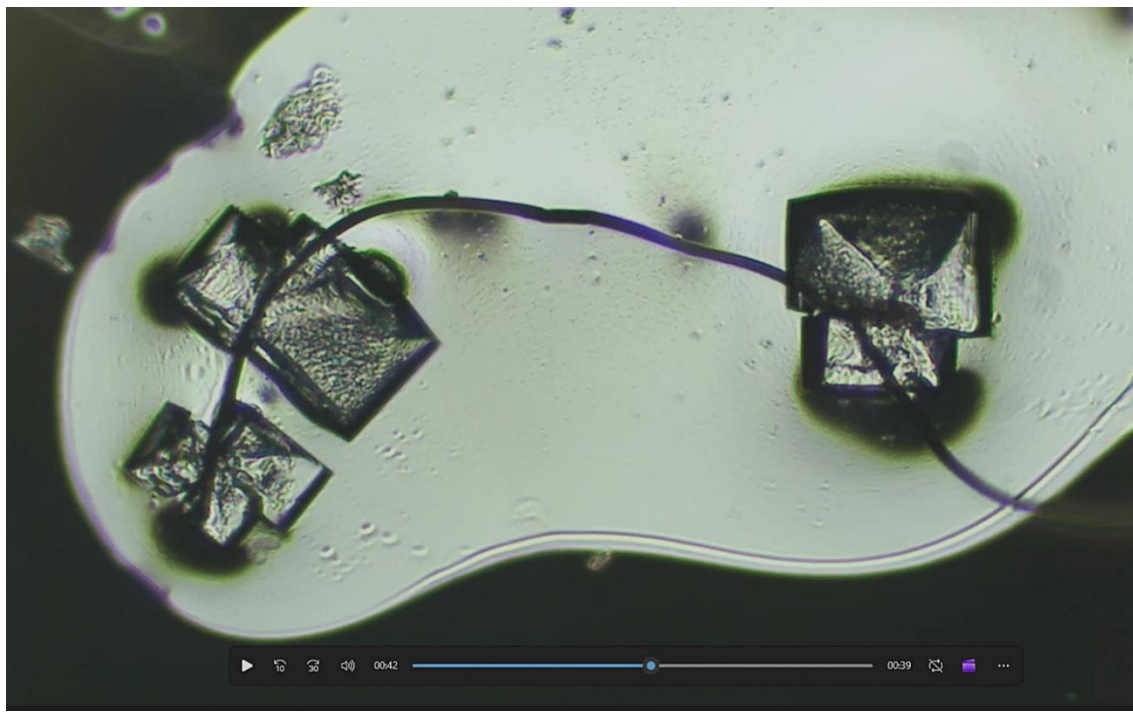


Figure 26. Image extraite d'une vidéo en accéléré montrant trois domaines cristallins distincts se formant séquentiellement le long d'une seule fibre continue lors de l'évaporation de gouttes sessiles. La fibre demeure structurellement intacte tout en servant d'échafaudage de nucléation commun à plusieurs cristaux. Grossissement 200x.

Cette séquence ne se conforme pas à la nucléation homogène classique, dans laquelle les cristaux se forment indépendamment au sein de la solution ou s'accumulent de manière chaotique lors des phases tardives du séchage. Au contraire, l'imagerie à résolution temporelle montre plusieurs domaines cristallins émergeant séquentiellement en des sites distincts le long d'une fibre préexistante. La persistance de la fibre tout au long du processus, associée à l'organisation spatio-temporelle ordonnée de la nucléation, indique une cristallisation hétérogène guidée par la fibre.

Un tel comportement est cohérent avec les voies de cristallisation non classiques et soutient l'interprétation des fibres comme des participants structuraux actifs dans la formation de l'Assemblage Cristal-Fibre, plutôt que comme des sous-produits passifs de la cristallisation.

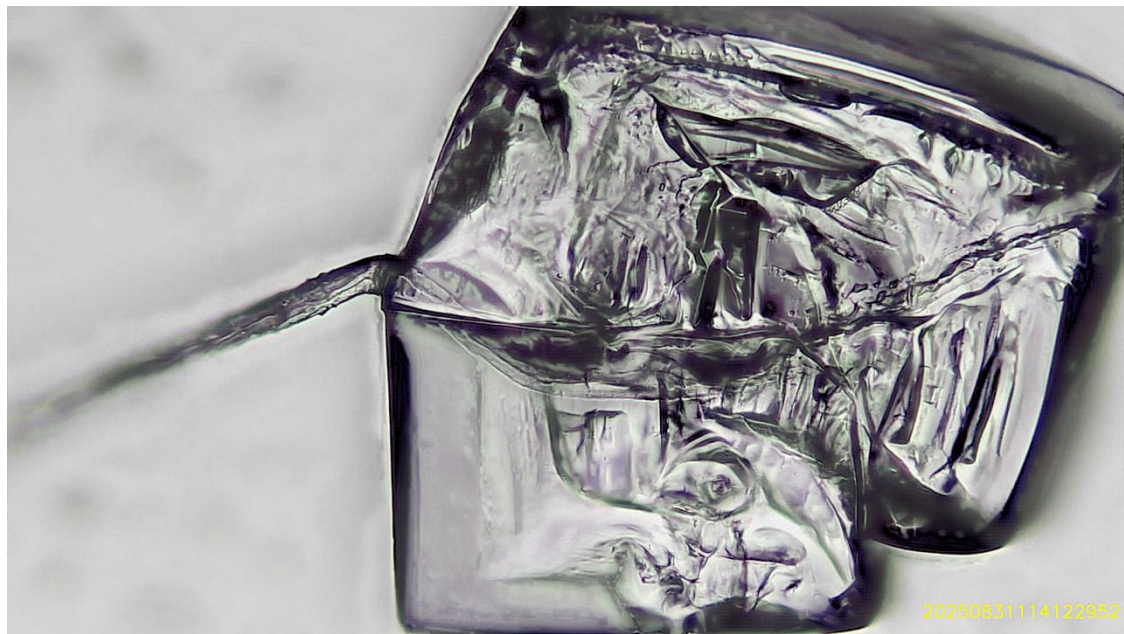


Figure 27. Cristal de Budésonide intersecté par une fibre continue, le corps cristallin englobant et incorporant la fibre plutôt que de s'y interrompre. Des striations internes et des distorsions de bord sont visibles à l'interface fibre-cristal. Grossissement 400x.

Dans cette configuration, le cristal ne présente pas de nucléation adjacente à la fibre mais l'incorpore au contraire au sein de sa structure, indiquant que la fibre était présente durant la croissance cristalline et non fixée après maturation. La continuité ininterrompue de la fibre à travers l'intérieur du cristal, conjuguée à une texture interne alignée sur l'axe fibreux, est incompatible avec un contact fortuit *a posteriori*. Cet agencement corrobore plutôt un processus de formation couplée où la fibre et le cristal ont émergé au sein d'un domaine de phase partagé, sous des conditions aux limites altérées à l'interface sang-air.

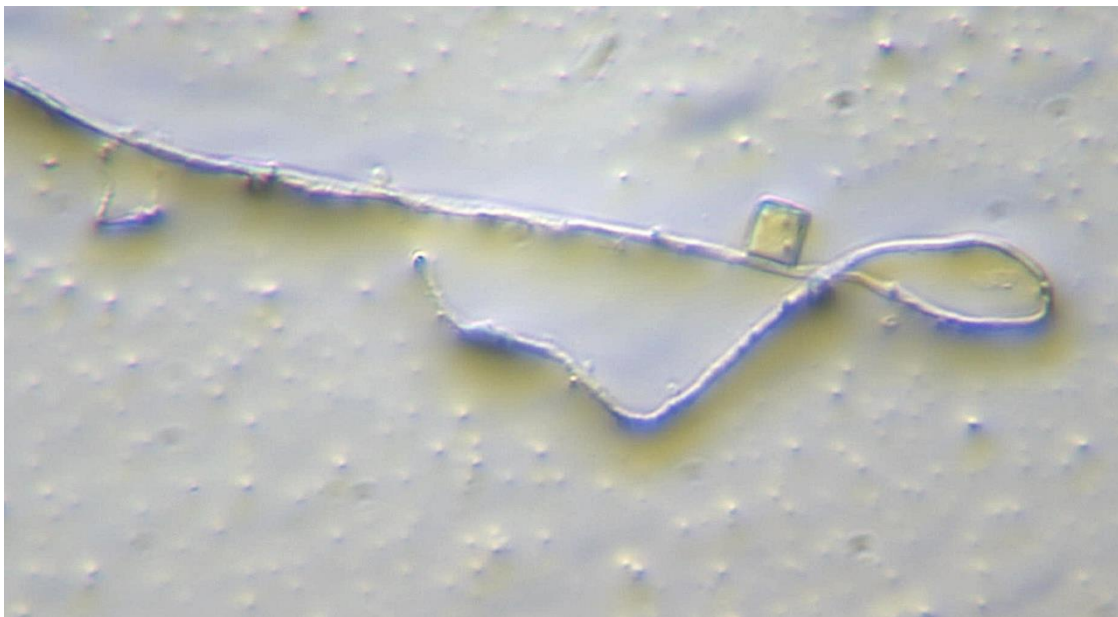


Figure 28. Fibre continue présentant un cristal de forme carrée unique ancré sur sa longueur à la périphérie d'un échantillon de Sang, consécutivement à une exposition magnétique prolongée. La fibre traverse le cristal sans interruption et forme une boucle distale au-delà de celui-ci. L'échantillon a été maintenu à proximité d'un aimant durant environ 12 heures avant l'imagerie.  
Grossissement 400x.

Cette image a été obtenue dans la zone périphérique d'un échantillon de Sang après environ 12 heures de proximité avec un aimant statique. Un seul cristal de forme carrée est observé, ancré directement à une fibre continue, laquelle traverse l'interface cristalline sans interruption et se prolonge en une boucle distale.

La préservation de la continuité de la fibre à l'interface du cristal, associée à l'exposition prolongée à un champ magnétique, suggère que cette configuration ne résulte pas d'un contact fortuit post hoc. Au contraire, la géométrie est cohérente avec une organisation à phases couplées au sein d'un environnement influencé par un champ, où la fibre et le cristal semblent s'être stabilisés en tant qu'éléments d'un domaine structurel partagé à l'interface sang-air.

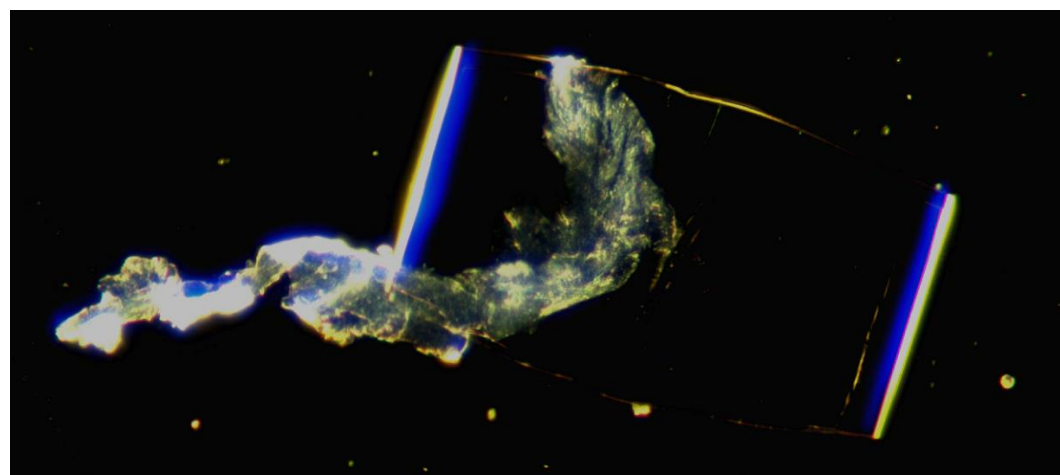


Figure 29. Image à fond noir d'une structure cristalline associée à une fibre, observée dans un échantillon d'urine. L'élément fibreux présente un couplage apparent avec un domaine cristallin doté d'une activité optique localisée. Il s'agit d'une observation rare et de la seule structure de type ACF identifiée dans les échantillons d'urine analysés au cours de cette étude. Grossissement 200x .

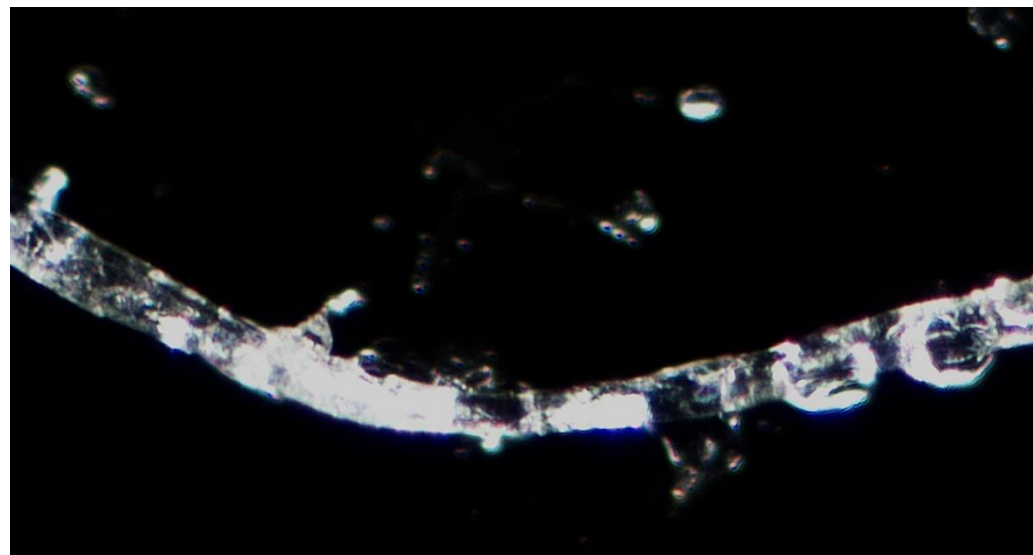


Figure 30. Filament continu observé dans un échantillon de salive de nourrisson. La structure présente une texture interne non uniforme ainsi que des microdomaines discrets ancrés sur sa longueur, avec une continuité optique maintenue sur l'ensemble du champ. Le matériel particulaire environnant est clairsemé par rapport au filament lui-même. Microscopie à fond noir. Grossissement 100x.



Figure 31. Réseau associé à une fibre observé dans un échantillon de sécrétion nasale. De nombreux filaments fins forment une structure interconnectée et ramifiée présentant des domaines nodaux brillants récurrents répartis le long des fibres. Le champ environnant contient du matériel particulaire diffus, tandis que le réseau de filaments présente une continuité et une géométrie coordonnée à travers le champ. Microscopie à fond noir. Grossissement 100x.

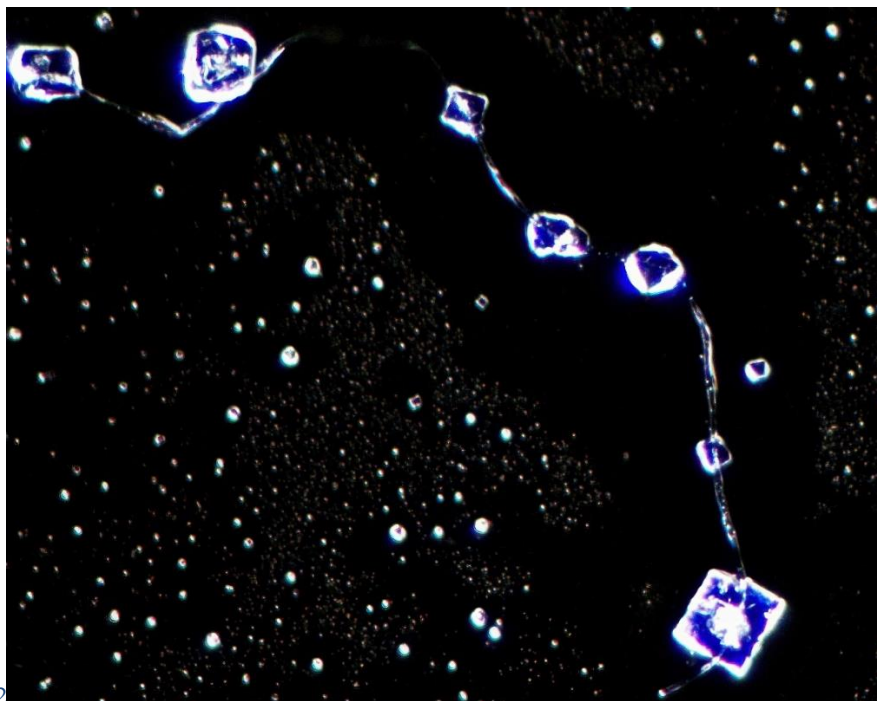


Figure 31. Assemblage cristal-fibre observé dans un échantillon d'eau rurale conservé dans un récipient en cuivre. Plusieurs domaines cristallins de formes carrée et rectangulaire sont alignés le long d'une fibre continue unique, conservant une orientation et un espacement cohérents à travers le champ. Grossissement 400x.

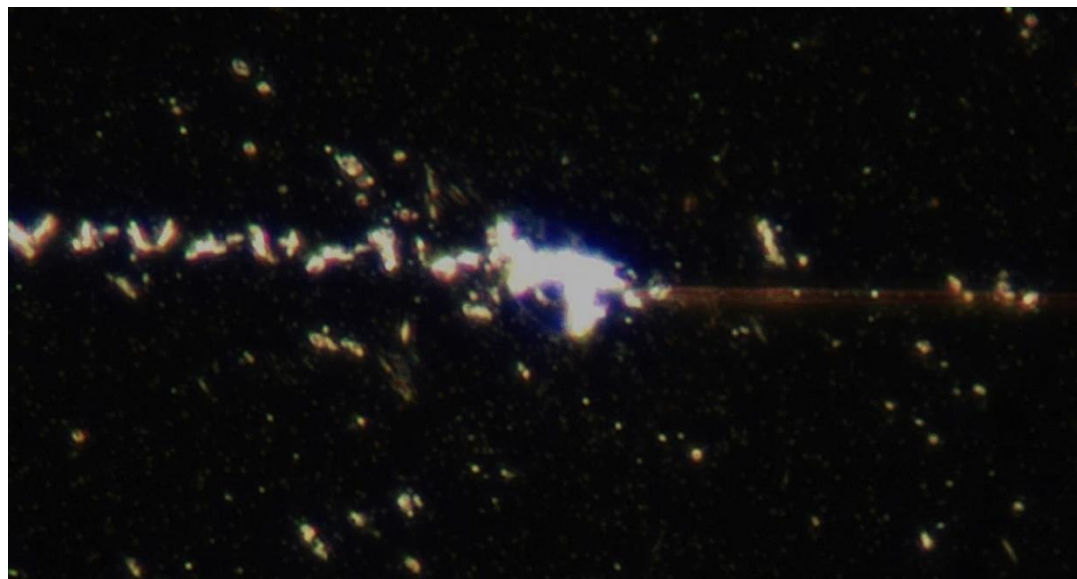


Figure 33. Transition de phase induite par un champ au sein d'une solution d'acide humique/fulvique. Après environ deux heures de proximité avec un champ magnétique statique, le matériau colloïdal dispersé présente un alignement axial, convergeant vers une transition de phase localisée caractérisée par l'émergence d'une fibre continue. Microscopie à fond noir. Grossissement 400x.

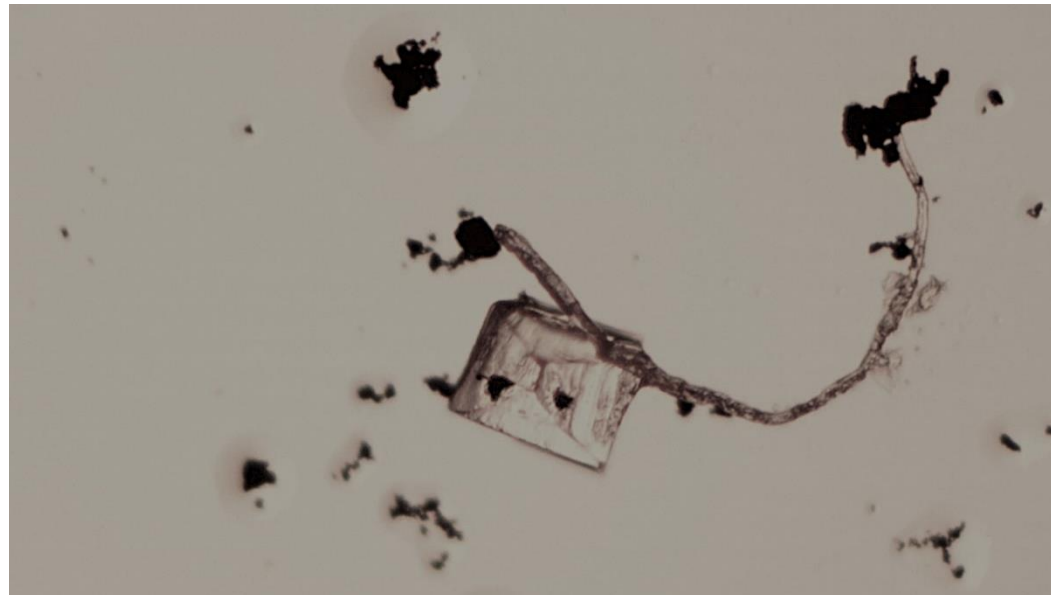


Figure 34. Charbon actif dans l'eau révélant une inclusion cristalline rectangulaire associée à une fibre, entourée d' agrégats sombres. L'arrière-plan présente des halos particulaires diffus et des microdomaines irréguliers correspondant à un matériau adsorbé plutôt qu'à une croissance cristalline libre. Grossissement 400x.

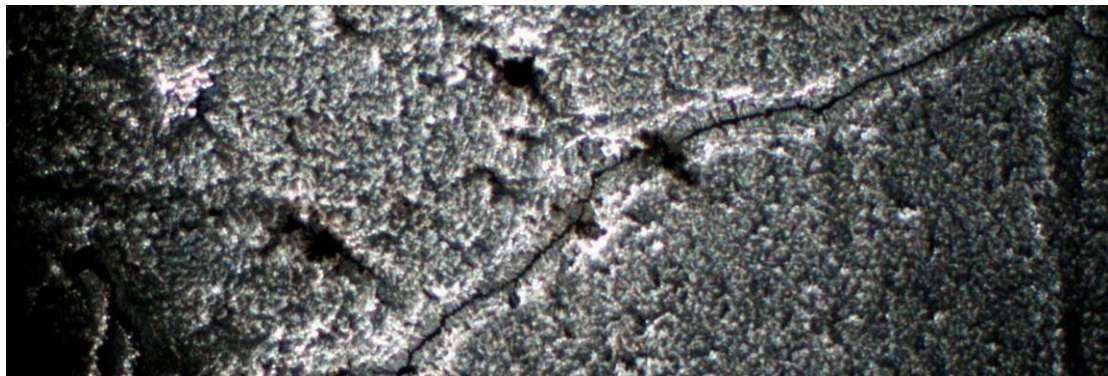


Figure 35. Image à fond noir d'une solution saline commerciale présentant une sédimentation particulaire diffuse avec de faibles traces de délimitations linéaires. Absence de structures associées à des fibres ou de type ACF.  
Grossissement 400x.



Figure 36. Image à fond noir d'un domaine cristallin de forme carrée, géométriquement régulier, enchâssé dans une matrice sédimentée riche en filaments. Le cristal présente un facettage net et une régularité optique interne.  
Les éléments filamentaires allongés environnants présentent une cohérence directionnelle et semblent s'intersecter ou s'interrompre à l'interface cristalline, bien qu'aucune fibre continue unique ne traverse le champ. Grossissement 400x.

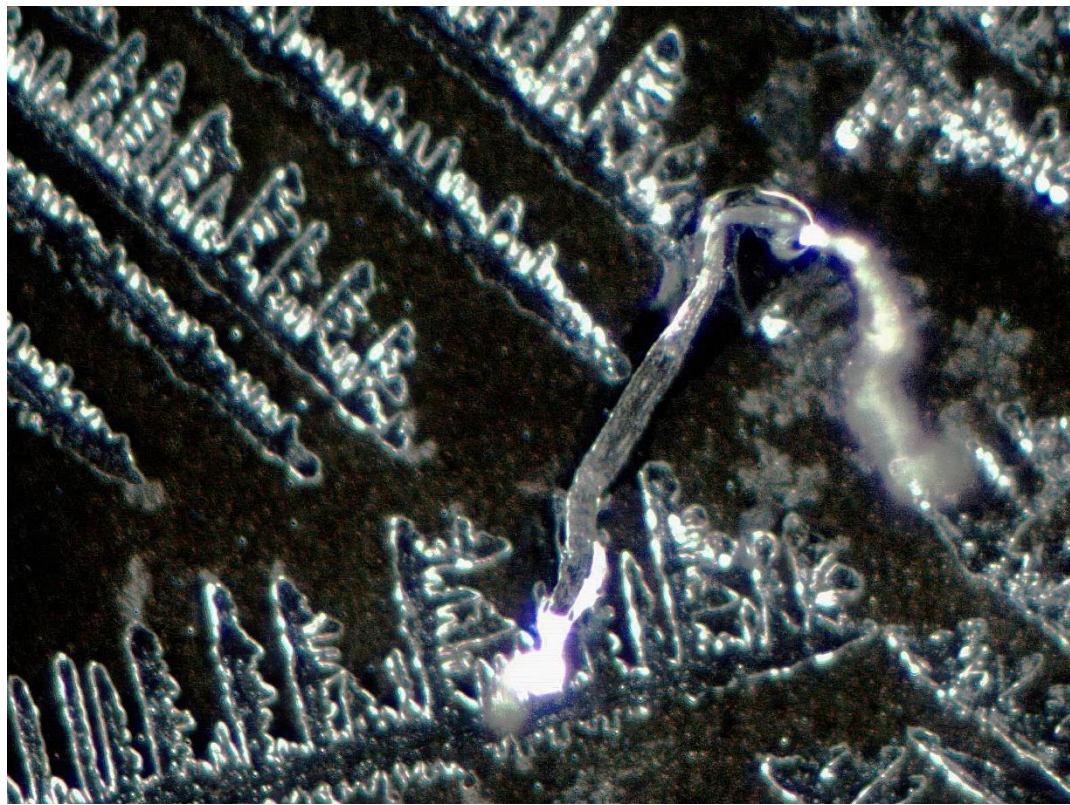


Figure 37. Image à fond noir montrant une fibre émergeant d'un domaine cristallin sombre et régulier et le traversant, sur un fond de sédimentation diffuse. La fibre maintient une continuité optique à travers l'interface cristalline.  
Grossissement 400x.

Considérées dans leur ensemble, ces images délimitent les conditions minimales dans lesquelles les assemblages cristal-fibre sont observés. La solution saline commerciale seule présente une sédimentation particulière diffuse avec de faibles traces de limites linéaires, mais aucune organisation associée à des fibres ou de type ACF. Lorsque la solution saline est combinée à des larmes et des cellules épithéliales, le champ devient fortement structuré, produisant des motifs cristallins et particulaires visuellement marquants ; toutefois, cette organisation demeure discontinue et ne présente pas de phase filamentaire continue.

En revanche, l'image positive à l'ACF met en évidence une fibre continue émergeant d'un domaine cristallin sombre et géométriquement régulier qu'elle traverse, maintenant une continuité optique à travers l'interface du cristal en dépit d'un arrière-plan sédimenté. La phase filamentaire présente dans ce cas est absente des préparations de solution saline seule ou saline-épithéliale dans des conditions comparables. Ces observations indiquent que si les environnements de porteurs ioniques et le matériel biologique peuvent générer une structure cristalline ou servir de matrice, la formation d'ACF nécessite la présence d'un composant filamentaire continu capable de se coupler aux domaines cristallins, plutôt que la cristallisation ou l'effet de matrice seuls.

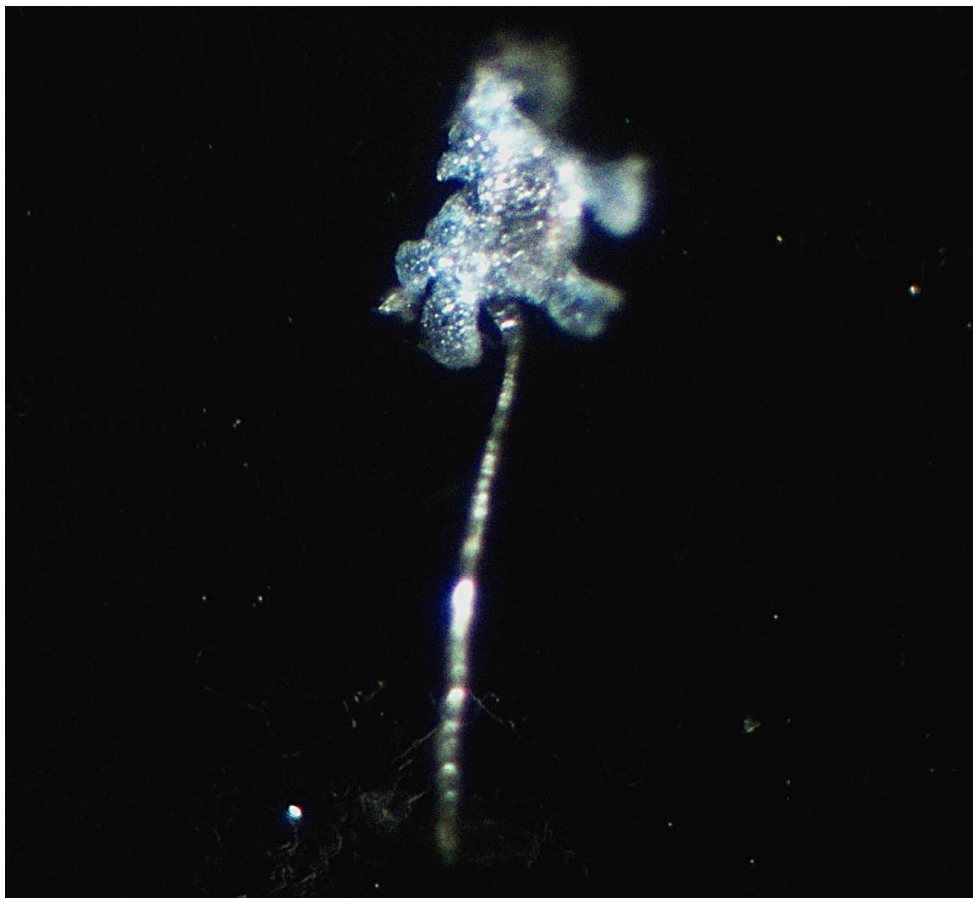


Figure 38. Image à fond noir d'un amas de cellules épithéliales présentant une diffusion particulaire décalée vers le bleu, avec un filament cohérent se projetant de l'agrégat vers le champ environnant. Le filament maintient une continuité optique et une luminance ponctuée le long de son axe, se distinguant de la diffusion de l'arrière-plan. Image ajustée uniquement à l'aide des commandes de base d'exposition et de contraste. Grossissement 400x.

La figure 38 complète la séquence en conditions minimales en démontrant une structure filamentaire continue directement associée à un amas de cellules épithéliales, en l'absence d'un échafaudage cristallin étendu.

La fibre se projette à partir de l'agrégat cellulaire avec une continuité optique maintenue et une texture interne discrète, se distinguant de la diffusion particulière de l'arrièreplan. Mise en perspective avec les Figures 35-36, cette image établit que, bien que les domaines cristallins puissent structurer l'organisation, ils ne sont pas indispensables à l'initiation des filaments.

L'exigence déterminante pour l'assemblage cristal-fibre réside plutôt dans la présence d'une phase filamentaire continue apte à se coupler à des environnements structurés, à les traverser ou à s'y organiser de manière autonome. Cette observation confirme que la formation d'ACF ne peut être réduite à la seule cristallisation, à un artefact de séchage ou à un simple effet de surface ; elle traduit un processus émergent régi par les filaments, capable de naître au sein du matériel biologique et de s'interfacer ultérieurement avec les domaines cristallins.

Les échantillons de sperme bovin présentent des agrégats denses à phases séparées, des inclusions angulaires et des structures filamentaires continues au sein d'une matrice biologique riche en protéines. L'environnement colloïdal intrinsèque permet la stabilisation des filaments et leur couplage aux domaines structurés sans qu'un modelage externe ou une cristallisation ne soient nécessaires.

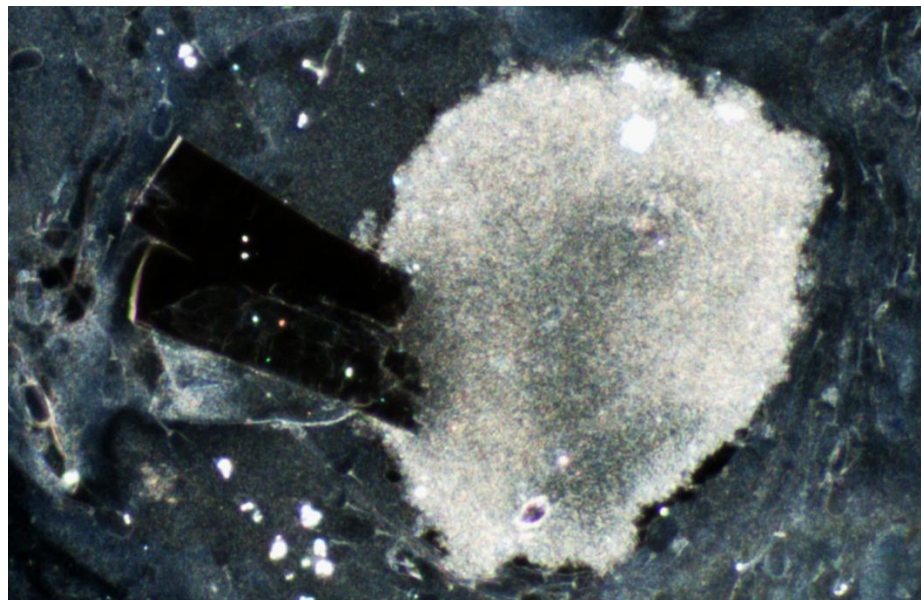


Figure 39. Agrégat dense à séparation de phases au sein d'un liquide biologique riche en protéines, présentant une condensation nettement délimitée adjacente à une inclusion angulaire sombre. Grossissement 400x.

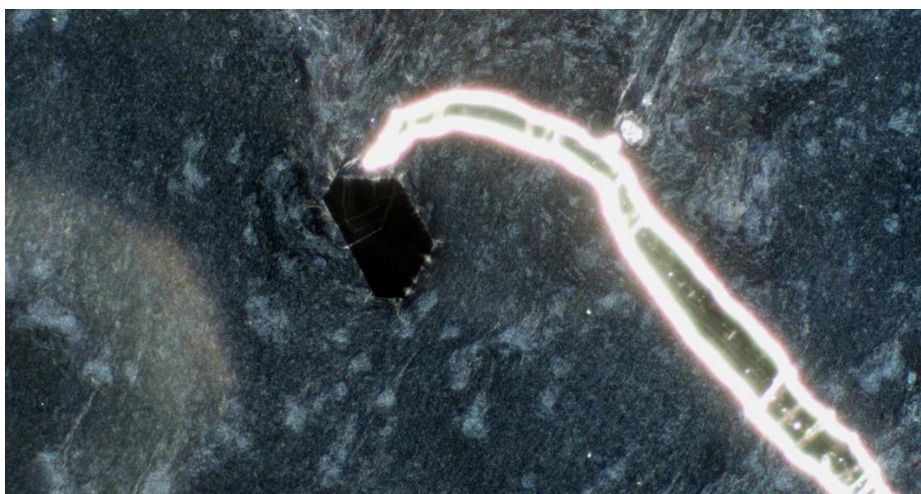


Figure 40. Image à fond noir illustrant une inclusion cristalline non orthogonale à facettes irrégulières, adjacente à un filament continu au sein d'une matrice biologique sédimentée. Le corps cristallin s'écarte de la symétrie classique carrée ou rectangulaire et présente une géométrie asymétrique, tandis que le filament adjacent maintient une continuité optique sur toute sa longueur. L'interface suggère un couplage local entre les phases cristalline et filamentaire plutôt qu'une cristallisation indépendante. Grossissement 400x.

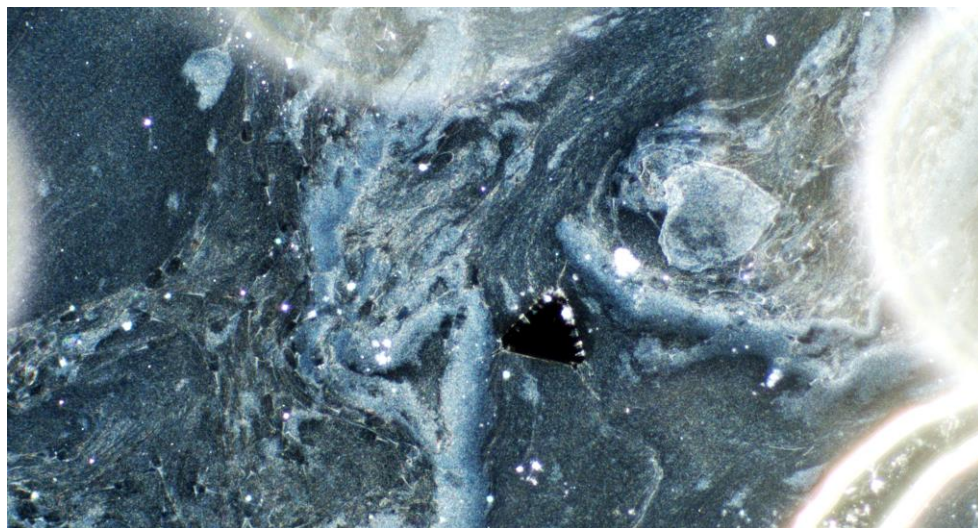


Figure 41. Image à fond noir d'une inclusion cristalline triangulaire irrégulière enchâssée dans une matrice biologique riche en protéines. Le cristal présente une géométrie non orthogonale et un facettage net, avec une zone adjacente de nature hydrogel visible à la marge inférieure droite. Le matériau environnant présente une sédimentation parti-culaire diffuse sans formation de réseau organisé. Grossissement 200x.



Figure 42. Image à fond noir du même champ une semaine plus tard. L'inclusion cristalline triangulaire précédemment isolée occupe désormais une position centrale au sein d'un réseau sédimentaire dense. Des structures rectilignes et matricielles ont émergé à la périphérie du cristal, formant des extensions angulaires alignées sur ses facettes. La matrice environnante apparaît plus structurée, une sédimentation organisée se substituant à l'arrière-plan diffus antérieur. Grossissement 400x.

Considérées conjointement, les Figures 38 et 39 documentent une réorganisation chronodépendante de la matrice environnante, centrée sur une inclusion cristalline préexistante. Un cristal irrégulier initialement isolé, associé à une phase de type hydrogel, devient, en l'espace d'une semaine, le point focal d'une sédimentation structurée et de l'émergence de formes rectilignes alignées sur sa géométrie. Cette progression suggère que la cristallisation seule est insuffisante pour expliquer l'architecture observée, et que des domaines cristallins persistants peuvent agir comme centres organisateurs pour une structuration ultérieure médiée par les phases au sein des liquides biologiques.

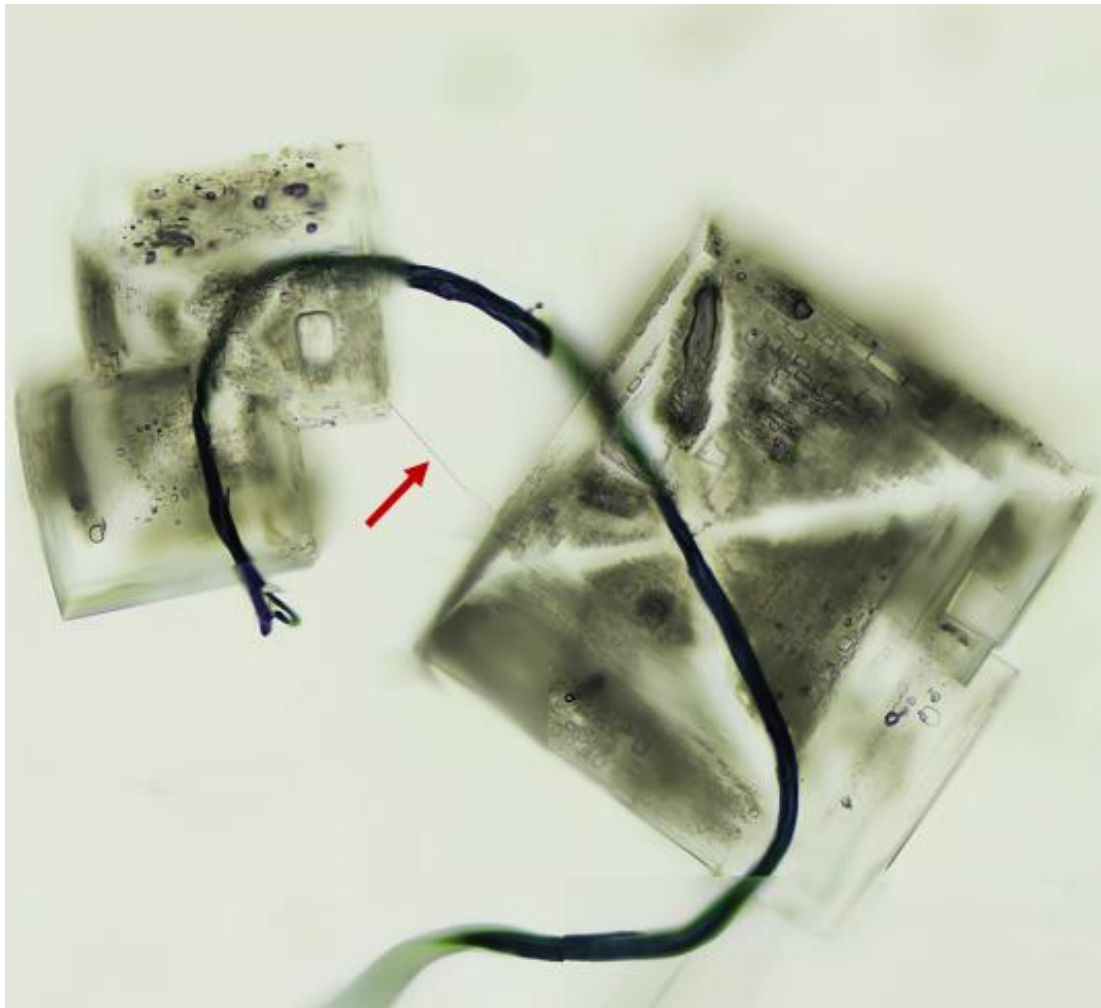


Figure 43. Reproduction indépendante d'un Assemblage Cristal-Fibre présentant deux domaines cristallins rectilignes couplés par une fibre courbe continue. La fibre maintient une continuité optique entre les cristaux et présente une courbure dirigée plutôt qu'un alignement aléatoire. La structuration interne et la cohérence des interfaces sont conservées au sein des deux corps cristallins. Image fournie par un collaborateur indépendant suite à des directives méthodologiques minimales. Grossissement 200x

La Figure 40 illustre un échantillon préparé indépendamment intégrant un supplément commercial contenant du C60 ; le confinement sous lamelle, l'imagerie par reconstitution et l'incubation à 37 °C durant une nuit ont produit un Assemblage Cristal-Fibre à haute résolution présentant un couplage multicristallin via un filament courbe continu.

Malgré des différences substantielles dans les conditions de préparation et la composition des matériaux, l'architecture résultante a conservé les caractéristiques distinctives des ACF observés par ailleurs dans cette étude, notamment la géométrie cristalline rectiligne, la structuration interne et la liaison spatiale par l'intermédiaire de fibres entre des domaines distincts.

Cette observation démontre que la formation d'ACF n'est pas restreinte à un ensemble limité de formulations ou de protocoles, mais peut émerger sous des conditions favorisant la stabilisation structurelle, la définition des interfaces et la maturation temporelle.

#### **Mise en relation des observations en fond noir et en contraste de phase**

La région indiquée par la flèche rouge marque le point d'interface fibre-cristal apparente, tel que visualisé sous éclairage en fond noir, où le filament semble s'interrompre ou pénétrer dans la limite cristalline.

En imagerie à fond noir, cette jonction se présente comme une zone de contraste optique élevé, suggérant un couplage spatial étroit tout en n'offrant qu'un aperçu limité de la structure interne.

L'imagerie à contraste de phase du même assemblage révèle une organisation supplémentaire à cette interface, mettant en évidence un vide ou canal longitudinal interne au sein du domaine cristallin, lequel s'aligne avec la fibre entrante.

Cette correspondance entre les observations en fond noir et en contraste de phase indique que l'interaction de limite apparente observée en fond noir reflète une intégration structurelle plus profonde, au sein de laquelle la fibre est logée dans une structure cristalline interne plutôt que de simplement buter contre la surface du cristal.

L'ensemble de ces modalités complémentaires vient appuyer l'interprétation de l'assemblage en tant qu'architecture cristal-fibre intégrée présentant une continuité interne, par opposition à une association superficielle ou post hoc.

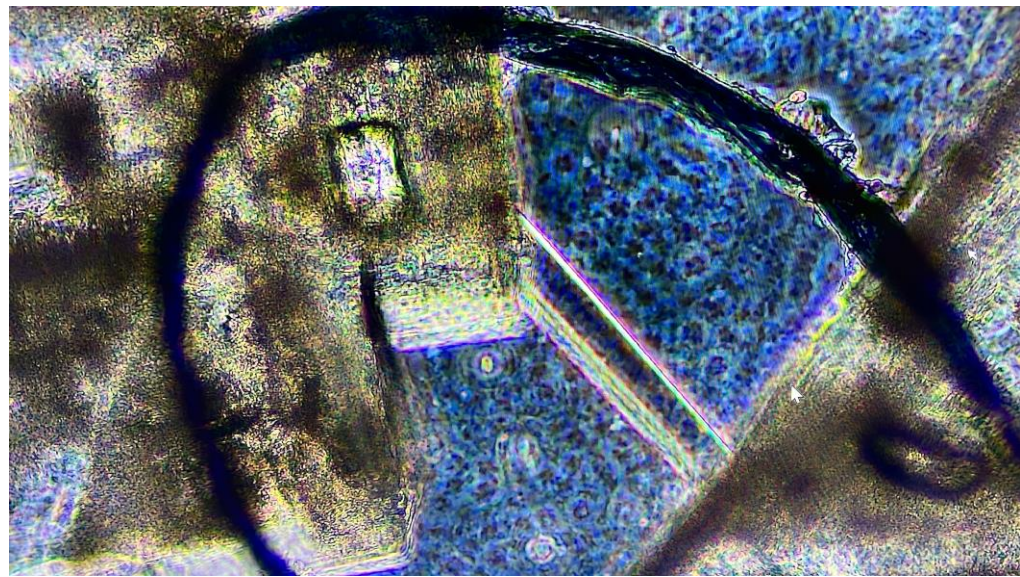


Figure 44. Image en contraste de phase d'un assemblage cristal-fibre montrant une fibre pénétrant dans un domaine cristallin rectiligne selon un angle oblique. Un vide ou canal longitudinal interne est visible au sein du cristal, aligné avec la fibre entrante. La correspondance entre la trajectoire de la fibre et la caractéristique cristalline interne suggère une intégration structurelle à l'interface plutôt qu'un contact superficiel.  
Grossissement 400x.

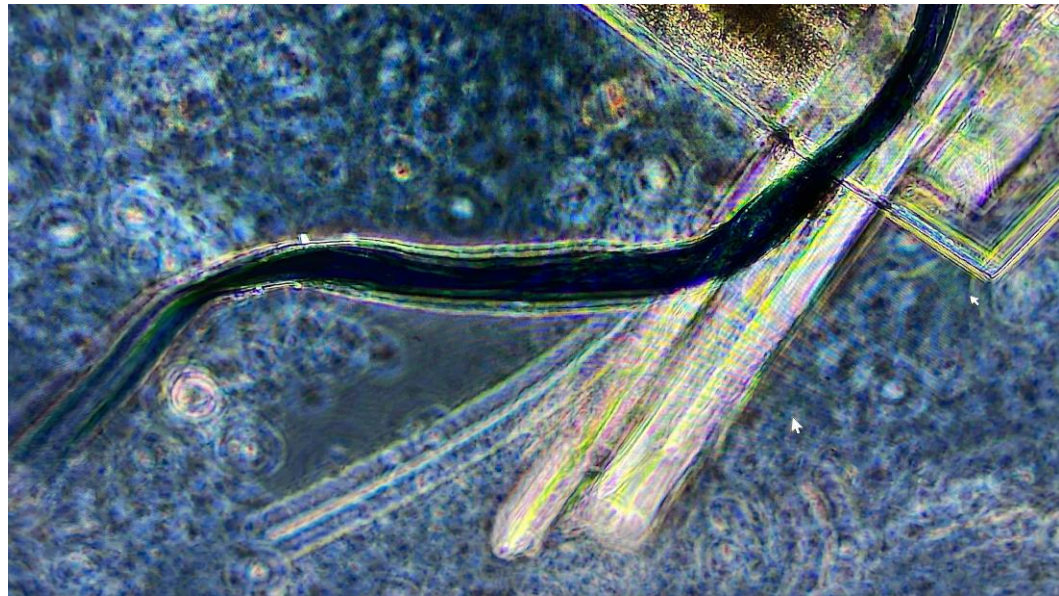


Figure 45. Image en contraste de phase montrant une saillie cristalline linéaire émergeant directement de la face inférieure d'un cristal rectiligne plus volumineux. L'élément saillant présente une épaisseur uniforme, une rectitude et une continuité géométrique avec le cristal parent, formant une extension linéaire rigide plutôt qu'une excroissance effilée ou fragmentée.  
Cette configuration est cohérente avec une croissance directionnelle contrainte de manière interne ou une extrusion à phases couplées. Grossissement 500x

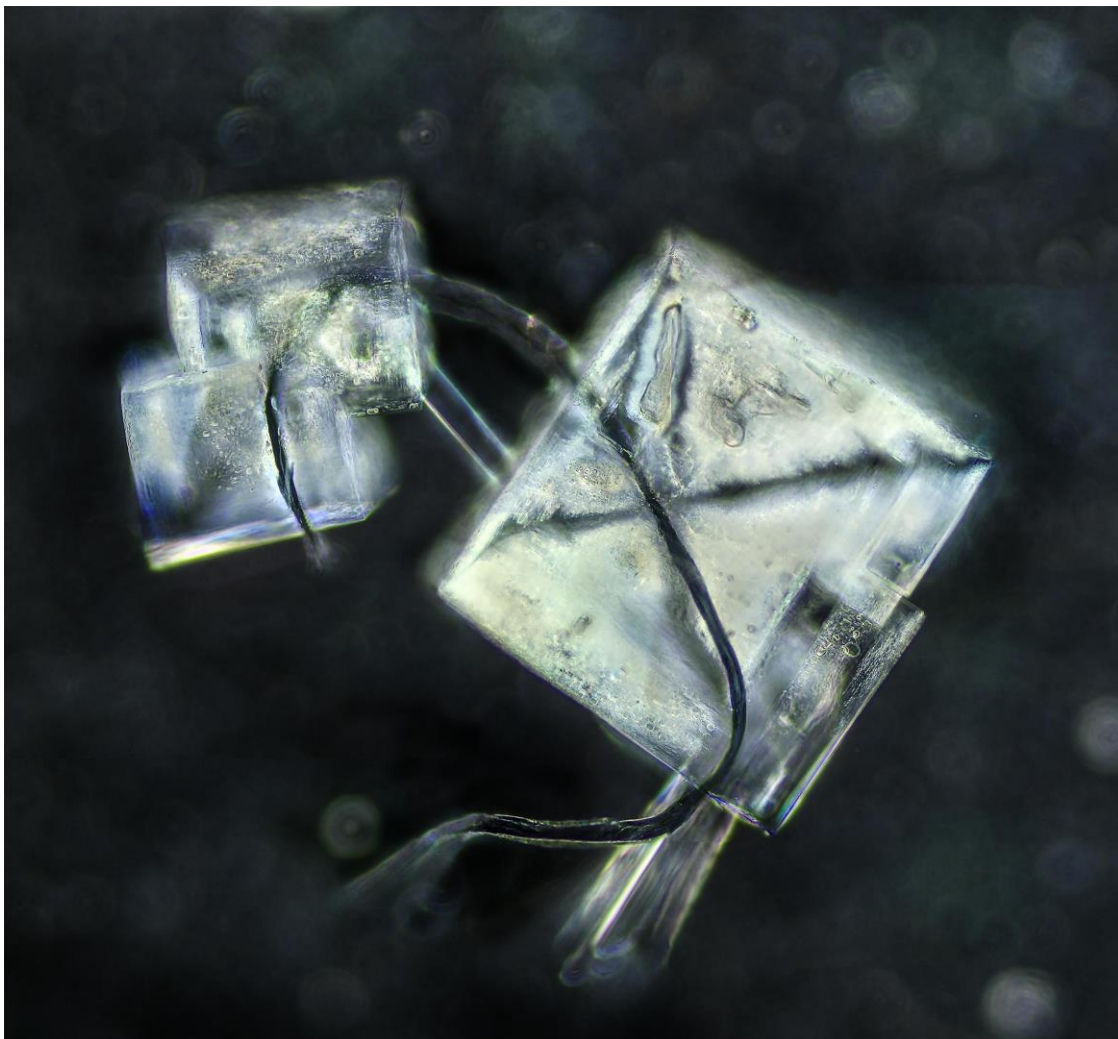


Figure 46. Fond noir. Composite par raccordement photographique montrant deux domaines cristallins rectilignes couplés à une fibre sombre. Dans le cristal le plus large, la fibre forme une trace continue à travers l'intérieur cristallin et émerge de la face inférieure sous la forme d'un filament ininterrompu. Des protrusions cristallines linéaires en forme de bâtonnets sont présentes sous le cristal de plus grande taille, alignées avec la fibre émergente. Grossissement 100x.

L'imagerie à contraste de phase a en outre révélé que la terminaison apparente de la fibre observée sous éclairage en fond noir correspondait à une structure interne creuse ou canaliforme au sein du corps cristallin, indiquant une continuité interne plutôt qu'une simple fixation externe.

## Synthèse des résultats (Assemblages Cristal-Fibre)

À travers de multiples préparations pharmaceutiques — incluant le Comirnaty de Pfizer-BioNTech, le vaccin COVID-19 de Moderna, le vaccin antigrippal, les anesthésiques dentaires et non dentaires, ainsi que le budésonide — et dans des échantillons biologiques incluant le Sang et d'autres liquides biologiques riches en protéines (urine, salive, sécrétions nasales et sperme), une classe cohérente d'Assemblages Cristal-Fibre (ACF) a été observée. Ces assemblages se caractérisent par des corps cristallins principalement carrés ou rectilignes présentant des relations spatiales structurées avec les fibres adjacentes.

Bien que les fibres ne fussent pas toujours visuellement continues à travers le volume cristallin sous une modalité d'imagerie unique, l'imagerie complémentaire a démontré une continuité interne, un canalage ou une incorporation à phases alignées dans plusieurs cas. Cette cohérence frappante de la géométrie, de l'alignement et du couplage positionnel s'est maintenue à travers les échantillons, les préparations et les points temporels.

Dans plusieurs cas, les fibres traversaient les domaines cristallins sans interruption, agissant comme des axes partagés reliant plusieurs cristaux, ou s'étendant au-delà des limites cristallines en tant qu'éléments continuos. Dans d'autres cas, les fibres et les cristaux demeuraient spatialement distincts tout en présentant une orientation, une courbure ou un développement synchrone coordonnés, suggérant un couplage au sein d'un domaine de formation partagé malgré l'absence de continuité directe. Les observations en accéléré ont en outre démontré une maturation coordonnée des nœuds cristallins le long de fibres individuelles, la préservation de la mémoire spatiale et l'émergence répétée de motifs comparables sous des conditions expérimentales distinctes.

L'ensemble de ces conclusions ne concorde pas avec la nucléation hétérogène classique, le contact de surface fortuit ou l'interaction mécanique post-hoc aléatoire. Au contraire, la reproductibilité de la forme, de l'alignement et du comportement développemental — qu'une continuité fibreuse directe soit présente ou non — soutient l'interprétation d'un processus d'organisation à phases couplées opérant au sein du champ de cristallisation. Ces résultats établissent les ACF comme une classe structurelle reproductible au sein des formulations pharmaceutiques et des échantillons sanguins, fournissant un fondement empirique cohérent pour l'étude ultérieure de l'auto-assemblage dépendant de la cohérence, de la sensibilité au champ et des dynamiques organisationnelles non locales.

## Discussion

À travers les divers types d'échantillons examinés dans cette étude, un motif structurel récurrent a été observé sous la forme d'architectures cristallines et fibreuses couplées, désignées ici sous le terme d'Assemblages Cristal-Fibre (ACF). Ces structures sont apparues au sein de domaines chimiquement et fonctionnellement distincts, incluant les vaccins à ARNm, les anesthésiques dentaires et non dentaires, les solutions de corticostéroïdes inhalés, le sang et l'urine. Leur émergence répétée sous des conditions variées réfute l'hypothèse d'un artéfact isolé, d'une contamination ou d'une anomalie spécifique à un domaine, et suggère plutôt une tendance organisationnelle commune opérant à travers les systèmes de matière molle.

Il est important de noter que les ACF ne se définissaient pas par leur seule composition chimique. Ils reflètent plutôt une logique organisationnelle contingente aux phases dans laquelle les domaines cristallins et les éléments fibreux coexistent, interagissent et, dans certains cas, subissent une transformation coordonnée au sein d'un régime d'assemblage partagé. Cette observation soutient un cadre théorique où le comportement structurel est régi moins par l'identité moléculaire que par des conditions aux limites telles que la dynamique d'évaporation, le confinement, l'environnement ionique et l'exposition à des champs externes. En ce sens, les ACF ne doivent pas être appréhendés comme des entités fixes, mais comme des intermédiaires transitoires ou stabilisés au sein d'un paysage d'auto-assemblage plus vaste.

Les résultats présentés ici imposent d'affiner l'interprétation des relations cristal-fibre. Tandis que certains assemblages présentent une continuité fibreuse ininterrompue à travers les corps cristallins, d'autres conservent une géométrie, un alignement et un couplage spatial cohérents en dépit d'une apparente discontinuité physique. Ceci indique que la continuité des fibres n'est pas un prérequis à un assemblage coordonné.

Les observations en contraste de phase indiquent que la discontinuité apparente en imagerie à fond noir peut refléter une limite optique plutôt qu'une réelle séparation structurelle, les fibres étant, dans certains cas, logées au sein de canaux cristallins internes. La caractéristique déterminante des Assemblages Cristal-Fibre réside plutôt dans la préservation de la forme, de l'orientation et de la logique de développement pardelà les discontinuités spatiales. Un tel comportement est incompatible avec la nucléation hétérogène classique ou un contact accidentel post-formation ; il suggère plutôt une organisation au sein d'un domaine de phase partagé.

La récurrence de ces structures au sein de diverses formulations pharmaceutiques — notamment les vaccins à ARNm, les vaccins antigrippaux, les anesthésiques dentaires et non dentaires — ainsi que dans les échantillons sanguins, récuse l'hypothèse d'un artéfact spécifique à la formulation. Plutôt que des événements chimiques isolés, ces assemblages semblent refléter une capacité organisationnelle générique de certains systèmes de matière molle à coupler la croissance cristalline à une structuration alignée sur les fibres. Dans ce contexte, les fibres ne font pas office de simples échafaudages physiques, mais constituent des éléments participant aux phases, capables de coordonner la structure à distance au sein du champ de cristallisation.

Il convient de noter que l'expression des structures liées aux ACF variait selon le domaine. Dans les préparations pharmaceutiques, en particulier les vaccins et les solutions anesthésiques, le couplage cristal-fibre a été couramment observé, émergeant souvent lors de l'évaporation de gouttes sessiles ou de l'incubation . En revanche, les échantillons sanguins présentaient principalement des architectures fibreuses et vésiculaires, les éléments cristallins y étant singulièrement rares. Une seule structure de type ACF a été observée dans des conditions dérivées du sang, et ce, lors de circonstances atypiques impliquant une incubation prolongée et la proximité d'un champ magnétique. Les échantillons d'urine occupaient une position intermédiaire, révélant la présence d'un matériau structuré persistant mais doté d'une cristallinité variable. Ces différences suggèrent que les contraintes environnementales locales — notamment la teneur en protéines, le flux, l'état d'hydratation et le tamponnage biologique — influencent fortement la mesure dans laquelle les phases cristallines sont autorisées, supprimées ou transformées.

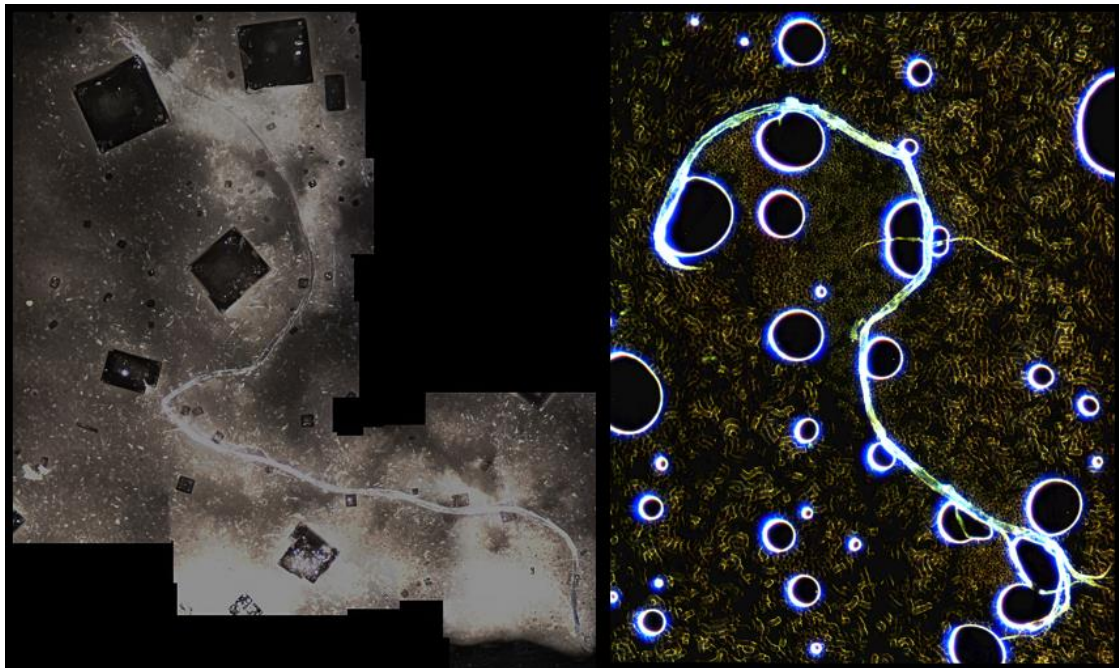


Figure 47. À gauche, une vue par assemblage photographique de domaines cristallins couplés à une fibre dans un échantillon de Pfizer Comirnaty âgé de 2 mois. À droite, une structure de type fibre associée à des domaines vésiculaires dans un échantillon de Sang âgé de 10 minutes. Les deux images ont été acquises à un grossissement d'environ 40x.

La sensibilité de ces structures aux conditions aux limites constitue une conclusion critique. Les variations du taux d'évaporation, du confinement (tel que l'utilisation de lamelles couvre-objet) et de l'exposition au champ ont été associées à des résultats structurels modifiés. Cette réactivité renforce l'interprétation des ACF en tant qu'architectures dynamiques plutôt que résidus passifs. Dans ce contexte, la présence de réseaux fibreux couplés à des vésicules ou à des domaines cristallins peut représenter une réponse généralisée de la matière molle aux gradients et aux contraintes, plutôt que la preuve d'une conception intentionnelle ou d'agents discrets.

Les implications de ces observations sont avant tout d'ordre épistémologique et méthodologique. Si des matériaux structurellement actifs peuvent émerger par la seule logique de phase, alors les cadres d'évaluation des risques reposant exclusivement sur l'identité chimique ou la concentration pourraient s'avérer insuffisants. Le comportement structurel — incluant la capacité d'auto-organisation, de persistance ou de réponse à des stimuli environnementaux — devient une dimension d'analyse pertinente. Ceci n'implique pas de préjudice biologique en soi, pas plus que cela n'établit de causalité avec des résultats cliniques. Cela met plutôt en exergue une catégorie de comportement des matériaux actuellement sousesti-mée dans l'évaluation biomédicale et pharmaceutique.

Les observations effectuées à la périphérie d'échantillons sanguins après une exposition prolongée à un champ magnétique statique étayent l'interprétation des ACF comme des structures à phases couplées plutôt que résultant d'interactions de contact. Bien que l'exposition magnétique ne puisse être isolée comme facteur causal dans la présente étude, le maintien de l'alignement et de la continuité entre fibres et cristaux dans ces conditions suggère une sensibilité aux gradients de champs externes plutôt qu'à une interaction mécanique aléatoire.

Ces résultats renforcent la nécessité de prendre en compte les influences environnementales et la dépendance aux champs lors de l'interprétation de l'auto-assemblage à micro-échelle dans les liquides biologiques.

Des observations récentes en contraste de phase indiquent en outre que des extensions cristallines linéaires peuvent émerger directement de corps cristallins parents le long d'axes alignés sur les fibres, renforçant l'interprétation des ACF comme des architectures à phases couplées et à coordination interne, plutôt que comme de simples contacts médiés par la surface.

Plusieurs limitations doivent être reconnues. Cette étude est observationnelle et repose sur la microscopie ; elle ne tente pas d'établir de mécanismes biologiques, de toxicité ou d'impact physiologique. La taille des échantillons est limitée et ce travail privilégie la documentation structurelle au détriment de l'analyse quantitative. Néanmoins, la reproductibilité des motifs de type ACF à travers divers domaines et contextes fournit une base cohérente pour des investigations ultérieures.

En résumé, la récurrence des Assemblages Cristal-Fibre au sein des produits pharmaceutiques et des liquides biologiques suggère l'existence d'une logique organisationnelle contingente aux phases partagée au sein des systèmes de matière molle. L'identification et la caractérisation de telles structures pourraient s'avérer essentielles au développement d'une compréhension plus exhaustive du comportement des matériaux à l'interface de la chimie, de la biologie et de l'environnement.

## Conclusion

Cette étude documente l'émergence récurrente d'Assemblages Cristal-Fibre (ACF) au travers de multiples domaines pharmaceutiques et biologiques. Observées dans les vaccins, les anesthésiques, les médicaments inhalés, l'urine et, dans certaines conditions limites, dans le sang, ces structures présentent des caractéristiques organisationnelles constantes en dépit de différences substantielles de formulation chimique et de contexte biologique.

Leur récurrence suggère que les ACF ne sont pas des artefacts isolés, mais les expressions d'une logique structurelle commune dépendante des phases.

Les résultats indiquent que l'architecture fibreuse, dont la cristallinité et le couplage vésiculaire sont des expressions conditionnelles, émerge ou s'efface selon les conditions aux limites locales plutôt que selon une identité matérielle fixe.

Dans des environnements tels que le sang, où le flux, l'homéostasie et la régulation biologique prédominent, les formes fibreuses et vésiculaires sont majoritaires, tandis que la cristallisation demeure largement contrainte. En revanche, les contextes pharmaceutiques et excréteurs permettent un couplage cristal-fibre plus manifeste. Cette expression différentielle renforce l'interprétation des ACF en tant que structures médiées par l'environnement plutôt que comme de simples inclusions statiques.

Il importe de préciser que ces travaux ne postulent aucun préjudice biologique, intentionnalité ou conséquence clinique. Leur contribution réside dans la démonstration que des architectures structurellement persistantes et adaptatives peuvent émerger au sein de domaines traditionnellement considérés comme chimiquement inertes ou transitoires. En mettant en exergue la structure, le comportement de phase et la sensibilité environnementale, cette étude souligne une lacune dans les cadres analytiques actuels, lesquels privilégient la composition au détriment de l'organisation dynamique. L'ensemble de ces observations corrobore la nécessité d'approfondir les recherches relatives au comportement de la matière molle à phases couplées dans les contextes biomédicaux. Établir précisément quand, où et dans quelles conditions de telles structures émergent — ainsi que la manière dont elles sont révélées distinctement selon la modalité d'imagerie — constitue un préalable indispensable à l'évaluation de leur pertinence au sein des systèmes biologiques.

## Références

- Ayrapetyan, S. N., & Ayrapetyan, G. S.** (2010). Cell hydration and metabolism: Implications for electromagnetic field effects. In M. Markov (Ed.), *Electromagnetic Fields in Biology and Medicine* (pp. 75–94). CRC Press.
- Del Giudice, E., Doglia, S., Milani, M., & Vitiello, G.** (1986). Electromagnetic field and spontaneous symmetry breaking in biological matter. *Nuclear Physics B*, 275(2), 185–199.
- Del Giudice, E., Doglia, S., Milani, M., Vitiello, G., & Vitale, M.** (1989). Quantification du flux magnétique et comportement de Josephson au sein des systèmes vivants. *Physica Scripta*, 40(6), 786–791.  
<https://doi.org/10.1088/0031-8949/40/6/017>
- Del Giudice, E., Voeikov, V., Tedeschi, A., & Vitiello, G.** (2015). L'origine et le rôle spécifique de l'eau cohérente dans les systèmes vivants. In L. Montagnier, J. Aïssa, E. Del Giudice, & G. Vitiello (Eds.), *Fields of the Cell* (pp. 77–92). World Scientific.  
<https://doi.org/10.13140/RG.2.1.2329.1046>
- Nixon, D.** (2025a). *Construction micro-échelle active dans le Pfizer Comirnaty : une étude par microscopie optique en direct*. *Journal of Bionanotechnocracy: Countdown to 2030*, 1(1), 1–112. <https://www.journalbnt.org>
- Nixon, D.** (2025b). *Du nano au micro : Logique structurelle émergente au sein des systèmes pharmaceutiques et biologiques*. *Journal of Bionanotechnocracy: Countdown to 2030*, 1(1), 113–197.  
<https://www.journalbnt.org>
- Nixon, D.** (2025c). *Nanostructures auto-assemblées dans le Sang et l'urine : Implications pour la bio-accumulation et la détoxication*. *Journal of Bionanotechnocracy: Countdown to 2030*, 1(1), 279–312. <https://www.journalbnt.org>
- Nixon, D.** (2025d). *Auto-assemblage dépendant de la cohérence dans les anesthésiques dentaires : Modulation structurelle par exposition passive aux champs*. *Journal of Bionanotechnocracy: Countdown to 2030*, 1(1), 313–396.  
<https://www.journalbnt.org>
- Nixon, D.** (2025e). *Confirmation indépendante de la cristallisation sensible aux champs par modulation Wi-Fi (contribution de Mateo Taylor)*. Annexe dans *Auto-assemblage dépendant de la cohérence dans les anesthésiques dentaires*. *Journal of Bionanotechnocracy: Countdown to 2030*, 1(1), 313–396.  
<https://www.journalbnt.org>
- Nixon, D.** (2025f). *De la cohérence capturée au renversement structurel : auto-assemblage modulé par le champ dans les anesthésiques dentaires et le Sang*. *Journal of Bionanotechnocracy: Countdown to 2030*, 1(2), 397–432.  
<https://www.journalbnt.org>
- Nixon, D., Wade, W.** (2025g). *Microscopie multimodale de la rupture de cohérence : Orgonite, Trivortex, lumière et blindage électromagnétique dans les échantillons pharmaceutiques*. *Journal of Bionanotechnocracy: Countdown to 2030*, 1(2), 433–468. <https://www.journalbnt.org>

- Nixon, D., Beharrell, T. (2025i). *Transformation structurelle phase-dépendante de matériaux de type hydrogel dans les contextes pharmaceutiques et biologiques*. Journal of Bionanotechnocracy: Countdown to 2030, 1(2), 504–526. Consulté sur <https://www.journalbnt.org>
- Nixon, D. (2026a). *De l'hydrogel au métamatériaux : redéfinition du comportement structurel au sein des produits pharmaceutiques et des liquides biologiques*. Journal of BioNanoTechnocracy, 2(1), 115–139. [www.journalbnt.org](https://www.journalbnt.org)
- Pollack, G. H. (2013). *La quatrième phase de l'eau : au-delà du solide, du liquide et de la vapeur*. Ebner & Sons.
- Pujala, R. K., Sudhakaran, D. V., & Dhara, S. (2020). Auto-assemblage induit par l'évaporation dans des mélanges de micro- et nanoparticules. *Bulletin of Materials Science*, 43(1), 1–8. <https://doi.org/10.1007/s12034-020-02096-5>
- Youssef, M., Hueckel, T., Yi, G.-R., & Sacanna, S. (2016). Colloïdes polymorphes via un dé-mouillage stimulé. *Nature Communications*, 7, 12216. <https://doi.org/10.1038/ncomms12216>
- Zang, S., Paul, S., Leung, C. W., Chen, M. S., Hueckel, T., Hocky, G. M., & Sacanna, S. (2025). Observation directe et contrôle des voies de cristallisation non classiques au sein de systèmes colloïdaux binaires. *Nature Communications*, 16, 3645. <https://doi.org/10.1038/s41467-025-58959-0>

### **Déclaration de conflit d'intérêts**

Cette recherche a été menée de manière indépendante, sans aucune influence externe susceptible d'affecter les données ou les conclusions présentées. Bien qu'une partie des revenus provienne d'abonnements à ma publication personnelle *Substack*, cela ne compromet nullement l'intégrité ou l'objectivité de l'étude. Aucun autre conflit d'intérêts n'est déclaré. Ce travail a été intégralement financé sur fonds privés.

### **Droits d'auteur**

© 2026 David Nixon. Tous droits réservés.

Cette œuvre peut être librement partagée, reproduite ou traduite à des fins non commerciales, éducatives ou de recherche, sous réserve d'une attribution appropriée.

La redistribution d'images ou de textes au sein d'œuvres modifiées ou dérivées doit impérativement mentionner la source originale.

Toute reproduction commerciale, incluant l'usage dans des produits ou des publications à but lucratif, est soumise à l'autorisation écrite préalable de l'auteur. Pour l'obtention de licences ou d'autorisations, veuillez contacter :

david@drdavidnixon.com.

Pour accéder à des ressources, images et vidéos complémentaires, veuillez consulter :

<http://www.drdavidnixon.com>

Document traduit en français par l'équipe de M-Power Translations

Canal Telegram :

<https://t.me/mpowertranslations>

## Glossaire

### Motif architectural

Motif structurel reproductible défini par une organisation spatiale et une géométrie relationnelle, se manifestant de manière récurrente à travers divers échantillons et domaines, indépendamment de leur composition.

### Conditions aux limites

Contraintes environnementales, géométriques ou énergétiques (ex. : taux d'évaporation, confinement, expo-sition à un champ) régissant l'émergence ou la suppression des ACF.

### Flux capillaires

Mouvements fluidiques au sein d'une gouttelette en cours d'évaporation, régis par des gradients de tension superficielle , influençant la redistribution des particules et l'alignement structurel.

### Particules colloïdales

Particules micro ou nanoscopiques en suspension dans un fluide, agissant comme médiateurs dans les processus d'auto-assemblage et assurant la liaison entre les échelles d'organisation nano et microscopiques.

### Assemblage Cristal-Fibre (ACF)

Un motif structurel récurrent caractérisé par un couplage architectural persistant entre un domaine cristallin et un ou plusieurs éléments de nature fibreuse. Les ACF sont définis par leur géométrie et leur organisation plutôt que par leur composition chimique et sont observés tant dans des contextes pharmaceutiques que biologiques.

### Microscopie à fond noir (MFN)

Technique de microscopie améliorant le contraste des échantillons transparents par la collecte de la lumière diffusée, permettant la visualisation de structures fines invisibles sous un éclairage en Champ clair.

### Auto-assemblage dynamique

Organisation spontanée de composants en formations structurées par un processus de mouvement continu, d'adaptation et de réorganisation temporelle.

### Événements d'encapsulation

Formation de limites fermées ou semi-fermées autour de fibres ou de noyaux cristallins lors de l'auto-assemblage, suggérant une organisation active de la matière.

### Stratification fractale

Organisation stratifiée à récursivité d'échelle au sein de structures auto-assemblées, où des caractéristiques géométriques similaires se répètent à différents niveaux de grossissement.

### Organisation hiérarchique

Organisation structurelle s'étendant sur plusieurs échelles spatiales, présentant des caractéristiques imbriquées ou répétitives reliant les domaines nano et micrométriques.

### **Flux hydrodynamique**

Mouvement d'un liquide au sein d'un système influençant l'organisation spatiale et l'alignement des composants en cours d'assemblage.

### **Le Nano engendre le Micro**

Principe décrivant la manière dont des composants nanoscopiques s'agrègent et s'organisent en structures microscopiques observables par auto-assemblage.

### **Architecture d'Assemblage Imbriquée**

Formation récursive de sous-structures organisées au sein d'assemblages plus vastes, traduisant une logique d'assemblage par matrice ou sous contrainte.

### **Cristallisation Non Classique**

Processus de cristallisation divergeant de la croissance ionique conventionnelle, impliquant souvent des intermédiaires tels que des colloïdes, des vésicules ou des fibres.

### **Nucléation**

Regroupement initial de particules ou de molécules amorçant la croissance ultérieure d'une structure cristalline ou organisée.

### **Architecture à Phases Couplées**

Configuration structurelle dont la formation et la persistance dépendent de transitions coordonnées entre les phases de la matière (p. ex. vésiculaire, fibreuse, cristalline).

### **Transitions de Phase**

Modifications de l'organisation ou de l'état de la matière, telles que les transitions liquide-solide ou amorphe-cristallin, influençant le comportement d'auto-assemblage.

### **Assemblage Réversible**

Capacité des structures à s'assembler, se désassembler partiellement et se reconstituer en réponse aux fluctuations des conditions environnementales.

### **Évaporation de gouttes sessiles (SDE)**

Méthode analytique consistant en l'évaporation d'une gouttelette de liquide sur un substrat sous conditions ambiantes, révélant les flux capillaires, les transitions de phase et la dynamique d'auto-assemblage.

### **Récurrence du motif structurel**

Apparition répétée d'une architecture organisée identique au sein d'échantillons, de grossissements et de domaines indépendants.

### **Dynamique de la tension superficielle**

Rôle des forces interfaciales dans la détermination du mouvement des particules, de l'agrégation et de la formation de motifs lors de l'évaporation.

### **Structures de type vésiculaire**

Formations sphériques ou membranaires observées lors de l'évaporation de gouttes sessiles, interagissant souvent de manière dynamique avec des fibres ou des domaines cristallins.

### **Transition vésicule-bâtonnet**

Processus dynamique au cours duquel des structures vésiculaires s'allongent en formes de bâtonnets ou de fibres, précédant souvent la nucléation cristalline ou la formation de parois

## **Clause de non-responsabilité**

Les informations fournies sur ce site web et dans le *Journal of Bionanotechnocracy: Countdown to 2030* sont destinées exclusivement à des fins informatives et pédagogiques. Elles ne sauraient constituer un diagnostic, une recommandation de traitement, une stratégie de prévention ou un remède pour toute condition médicale, procédure ou protocole mentionné. Il est conseillé aux utilisateurs et aux lecteurs — incluant les parents, tuteurs, soignants, cliniciens ou autres — de faire preuve de discernement et de consulter des professionnels qualifiés pour toute application ou décision spécifique.

Les auteurs, directeurs de publication et toute personne associée au site Web ou à la revue déclinent toute responsabilité en cas de préjudice, blessure, perte financière ou autre conséquence découlant de l'utilisation, de l'application ou de l'interprétation des informations, résultats de recherche, opinions ou conclusions contenus dans le présent document. L'utilisateur assume l'entièvre responsabilité de l'usage fait de ce matériel.

Ce matériel est mis gracieusement à disposition à des fins d'examen et d'exploration académique.

En cas de citation ou de reproduction, les utilisateurs sont tenus de créditer la source ou l'auteur original et de se conformer aux dispositions de la licence Creative Commons 4.0 NC ND ou de tout autre accord de licence applicable.

Toute redistribution à des fins commerciales ou sous une forme modifiée est strictement interdite.